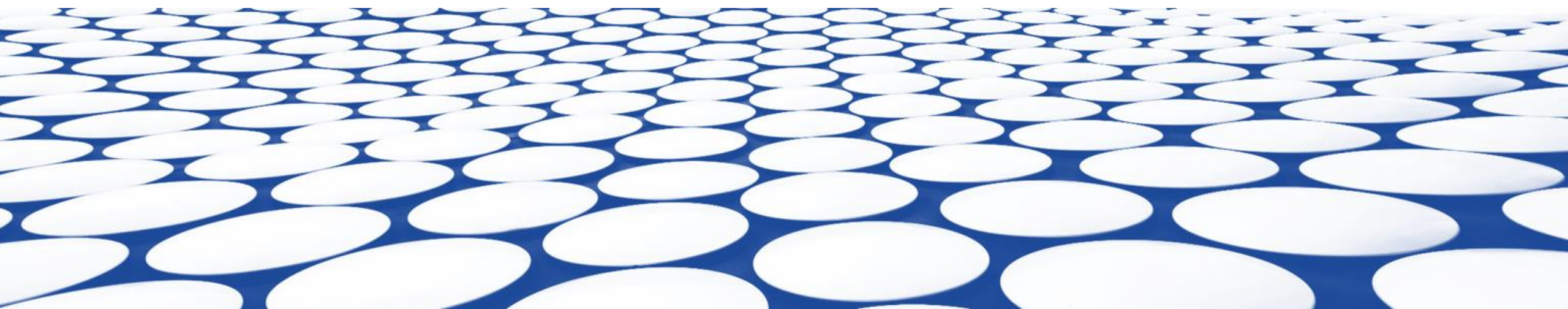




Супер С-тау фабрика: обзор, физическая программа

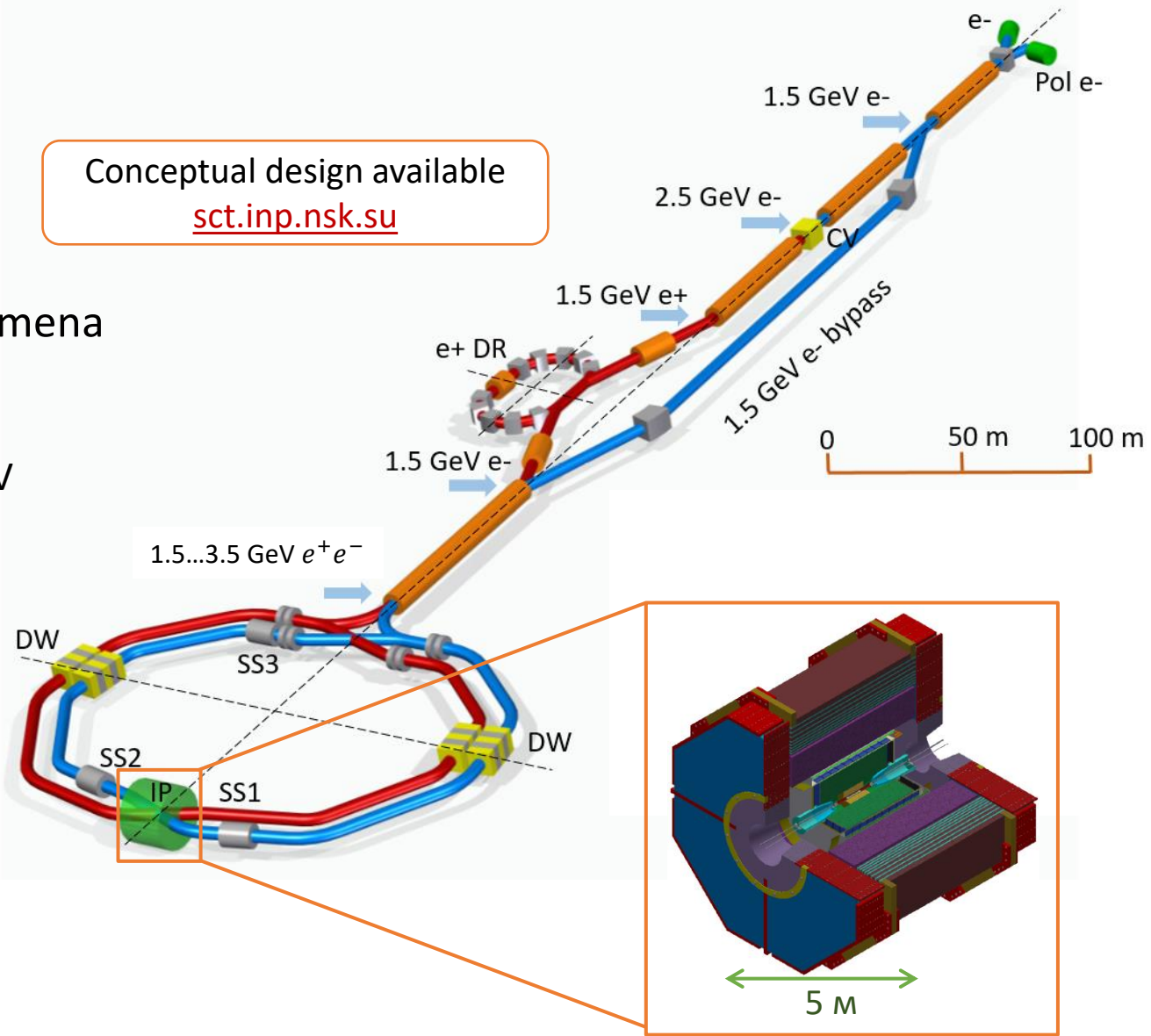
Виталий Воробьев, ИЯФ СО РАН

Семинар в ИЯИ, 14 февраля 2022

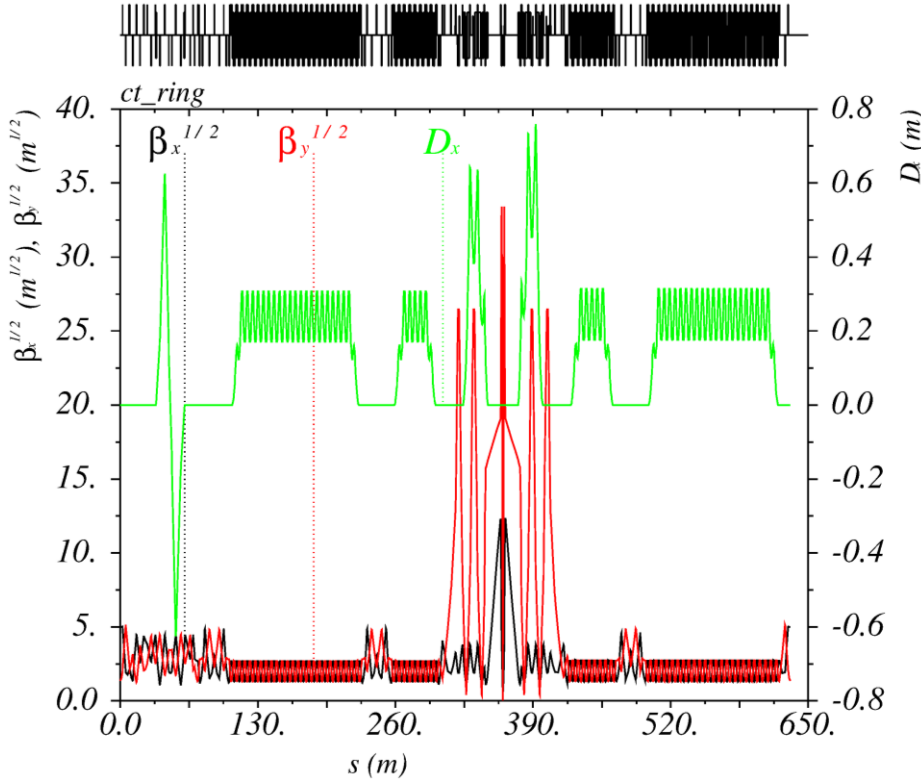


The SCT experiment

- Precision experiments with tau lepton and charmed hadrons, and search for BSM phenomena
- Electron-positron collider
 - Beam energy varying between 1.5 and 3.5 GeV
 - Luminosity $\mathcal{L} = 10^{35} \text{ cm}^{-2}\text{s}^{-1}$ @ 2 GeV
 - Longitudinal polarization of the e^- beams
- Universal particle detector
 - Tracking system
 - Crystal electromagnetic calorimeter
 - Particle identification system



SCT Collider parameters (2021 update)



Продолжается оптимизация
динамической апертуры на низких
энергиях

E(MeV)	1500	2000	2500	3000	3500
$\Pi(m)$				632.94	
$F_{RF}(\text{MHz})$			350		
q			740		
$2\theta(\text{mrad})$			60		
$\varepsilon_y/\varepsilon_x(\%)$			0.5		
$\beta_x^*(\text{mm})$			100		
$\beta_y^*(\text{mm})$			1		
α			2.2×10^{-3}		
I(A)	2	2	2	2	2
$N_e/bunch \times 10^{10}$	9	8	8	9	10
N_b	292	328	328	292	262
$U_0(\text{keV})$	21	67	164	340	629
$V_{RF}(\text{kV})$	1600	2000	2000	2000	3400
ν_s	0.0164	0.016	0.0142	0.013	0.0155
$\delta_{RF}(\%)$	2	1.9	1.7	0.014	1.6
$\sigma_e \times 10^3$ (SR/IBS)	0.28/1	0.4/0.7	0.47/0.62	0.57/0.61	0.66/0.68
$\sigma_s(\text{mm})$ (SR/IBS)	4/13	5/10	7/9.4	9.5/10.2	9.2/9.4
$\varepsilon_x(\text{nm})$ (SR/IBS)	3/21	4.7/12.7	7.4/10.5	10.6/11.6	14.5/14.8
$L_{HG} \times 10^{35} (\text{cm}^{-2}\text{s}^{-1})$	0.5	0.8	1	1	1
ξ_x	0.008	0.009	0.009	0.007	0.008
ξ_y	0.11	0.12	0.11	0.092	0.084
$\tau_{\text{Touschek}}(s)$	3600	2900	2400	2600	6400
$\tau_L(s)$	3100	1900	1600	1700	1600

Уникальность очарованного кварка

1. Единственный тяжелый верхний кварк, образующий адроны

- Чувствительность к НФ, связанной с верхними кварками
- Динамика сильного взаимодействия очарованного кварка плохо рассчитывается в КХД

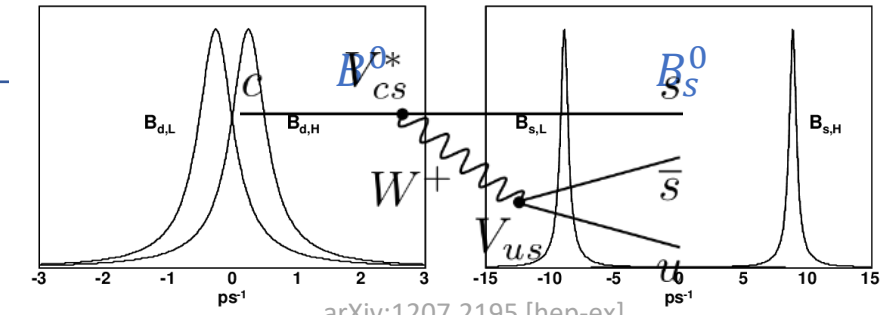
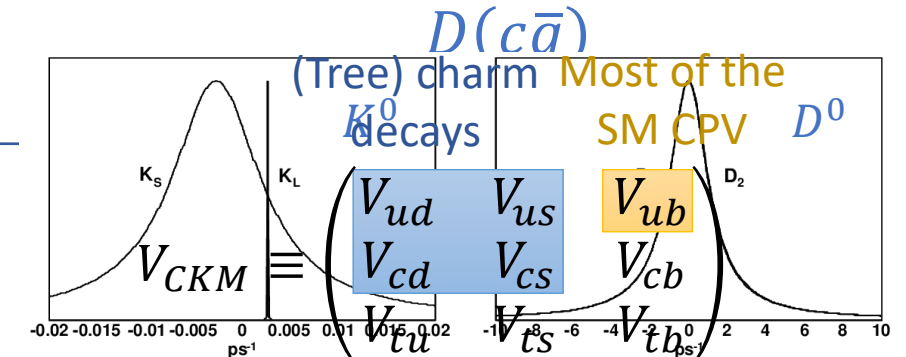
2. Малость параметров осцилляций D -мезонов $\mathcal{O}(10^{-2})$

- Наблюдение осцилляций D в 2012 году
- Важна динамика на больших расстояниях
- Нуль-тест для вкладов НФ в осцилляции

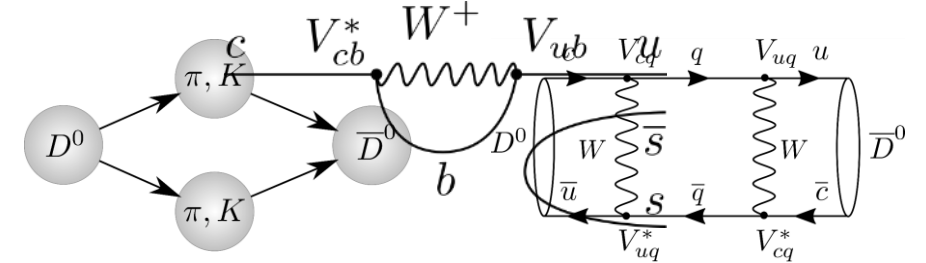
$$x \equiv \frac{m_2 - m_1}{\Gamma}, y \equiv \frac{\Gamma_2 - \Gamma_1}{2\Gamma}$$

3. Малость CP -нарушения в распадах очарованного кварка $\mathcal{O}(10^{-4})$

- CP -нарушение в чарме обнаружено в 2019 году
- Матрица смешивания кварков – почти действительная для первых двух поколений
- Нуль-тест для вкладов НФ в CP -нарушение



arXiv:1207.2195 [hep-ex]



Уникальность τ -лептона

1. Самый тяжелый лептон

- Потенциально более чувствителен к НФ, чем электрон и мюон

2. Единственный лептон, распадающийся в адроны

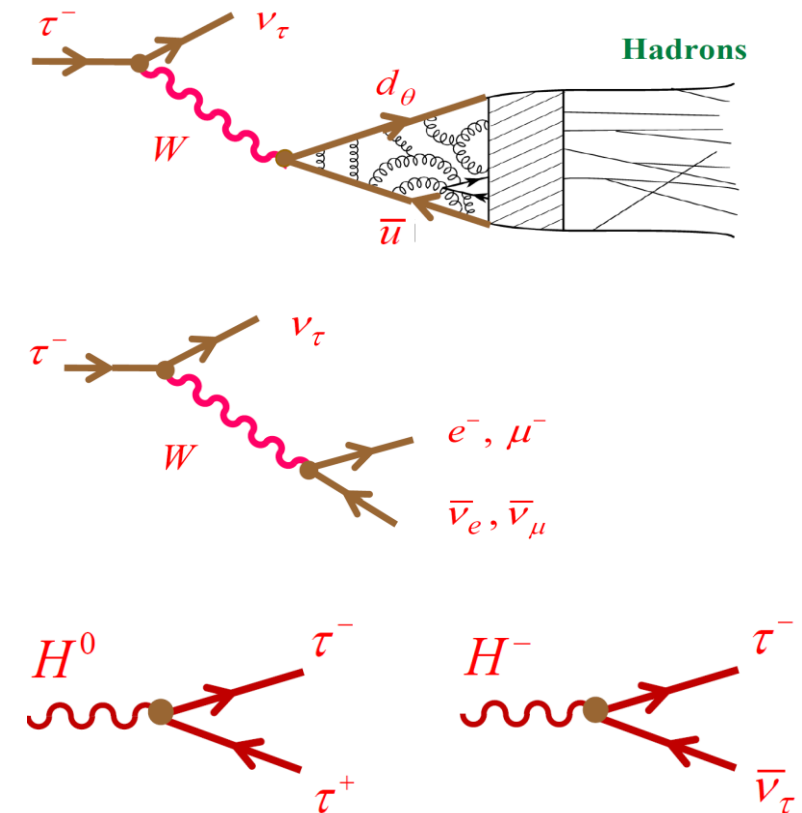
- Лаборатория для изучения сильного взаимодействия
- Измерение фундаментальных параметров СМ: α_s , V_{us} , m_τ

3. Лаборатория для проверки модели электрослабого взаимодействия

- Прецизионная проверка СМ в лептонных распадах тау

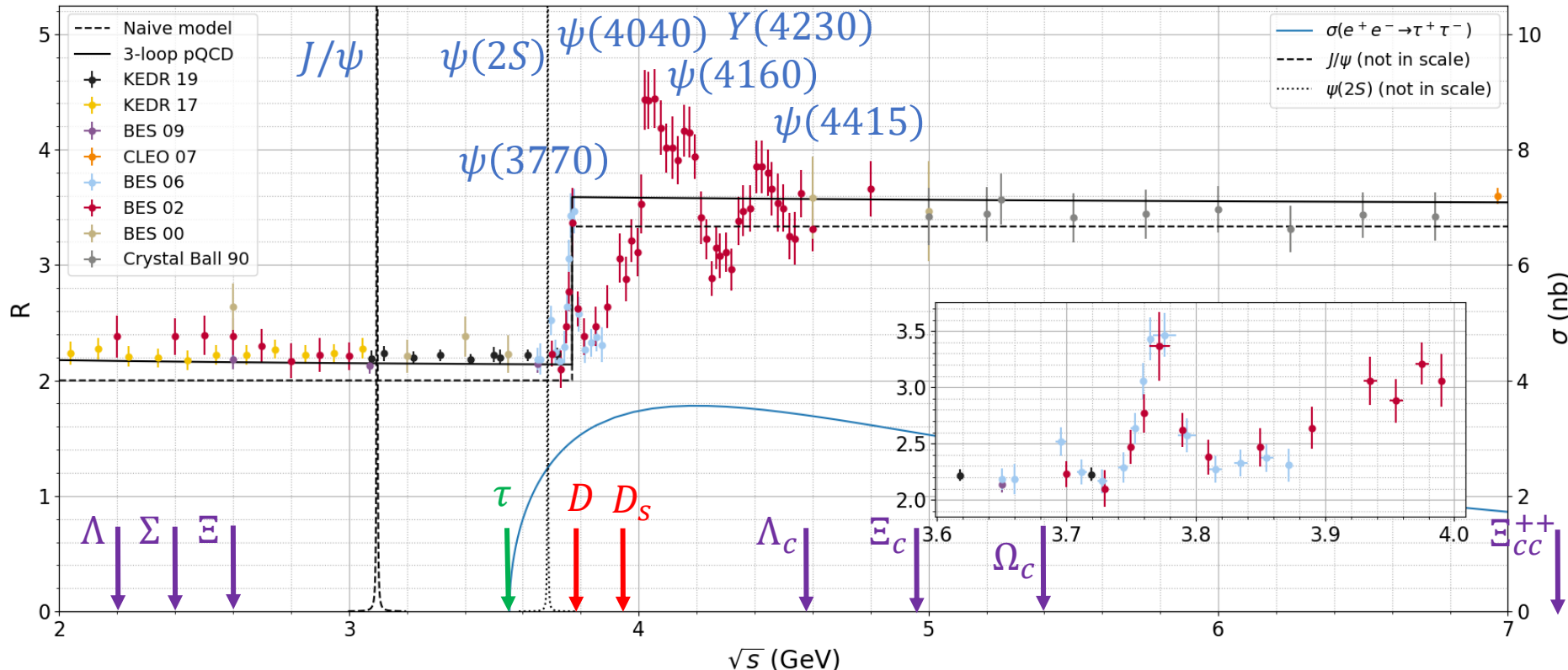
4. Лаборатория для поиска НФ

- Поиск нарушения CP -симметрии в рождении и в распадах тау
- Поиск распадов тау с нарушением лептонного аромата
- Поиск заряженного бозона Хиггса и т.д.



Диапазон энергии ССТФ

$$R \equiv \frac{\sigma(e^+e^- \rightarrow \text{hadrons})}{\sigma_0(e^+e^- \rightarrow \mu^+\mu^-)}$$

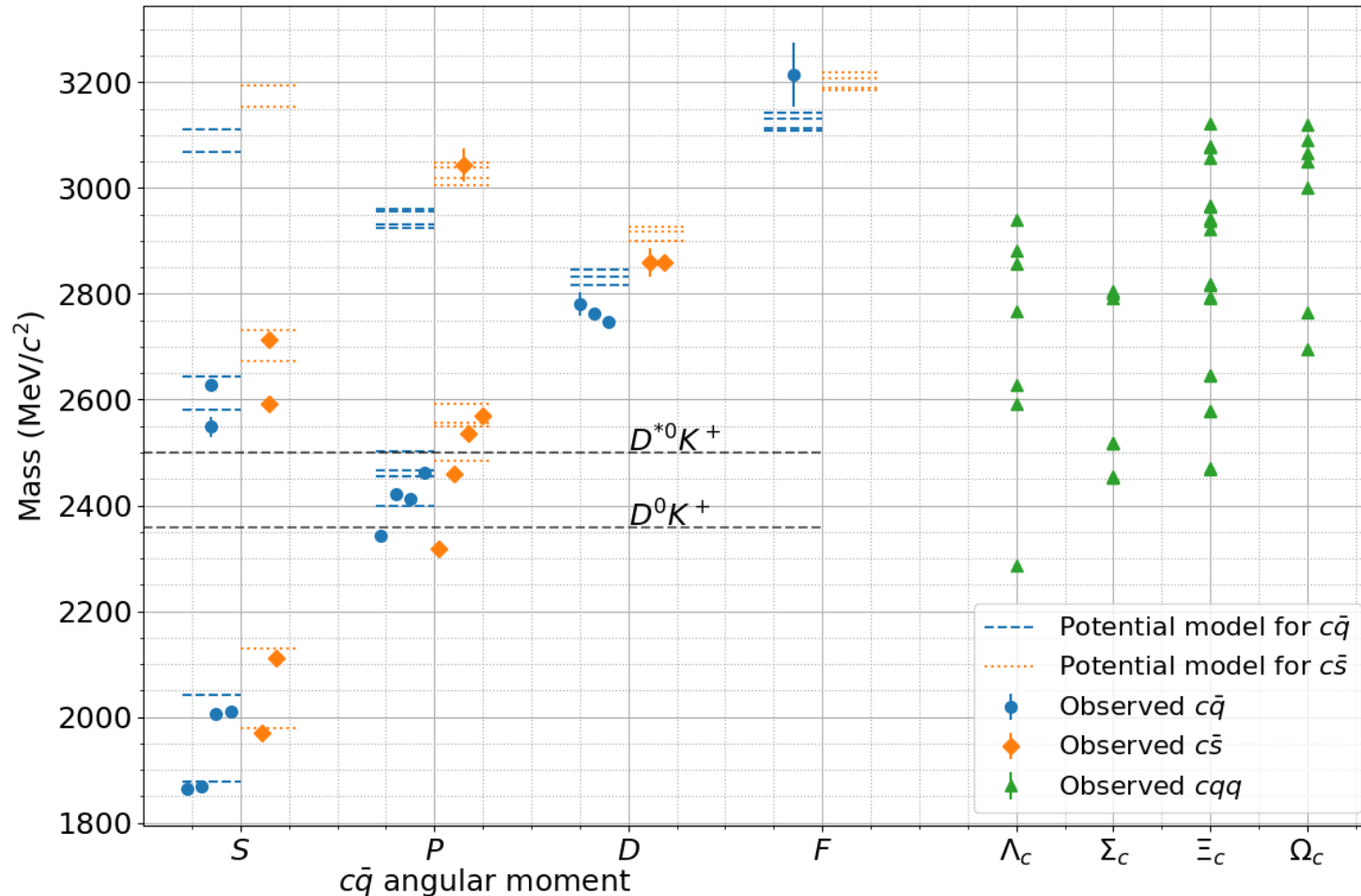


Пороговое рождение нерелятивистских
частиц обеспечивает оптимальные условия
для их всестороннего изучения

$\mathcal{L} = 10^{35} \text{ cm}^{-2}s^{-1}$
A one-year dataset

2E, GeV	Events recorded
3.1	$10^{12} J/\psi$
3.69	$10^{11} \psi(2S)$
3.77	$10^9 D\bar{D}$
4.17	$10^8 D_s\bar{D}_s$
3.55 ÷ 4.3	$10^{10} \tau\tau$
4.65	$10^8 \Lambda_c^+\Lambda_c^-$

Очарованные адроны (без экзотики)



Физическая программа

ССТФ – эксперимент с широкой программой прецизионных измерений

ФННО России
Федеральное государственное бюджетное учреждение
Институт ядерной физики имени Г.Я.Борисова
Сибирского отделения Российской академии наук
(г. Новосибирск, Россия)

Супер Чарм – Tau фабрика

КОНЦЕПЦИОННЫЙ ПРОЕКТ
ЧАСТЬ ПЕРВАЯ
(Физическая программа, детектор)

Новосибирск – 2017

sct.inp.nsk.su



Ключевые преимущества ССТФ

(помимо рекордной светимости)

1. Пороговое рождение пар τ -лептонов и очарованных адронов

- Хорошо определенное начальное состояние
- Малая множественность частиц конечного состояния
- Дополнительные кинематически ограничения

2. Продольная поляризация электронов в пучке

- Улучшение чувствительности к \mathcal{CP} -нарушению в процессах с барионами и τ -лептоном
- Измерение угла Вайнберга

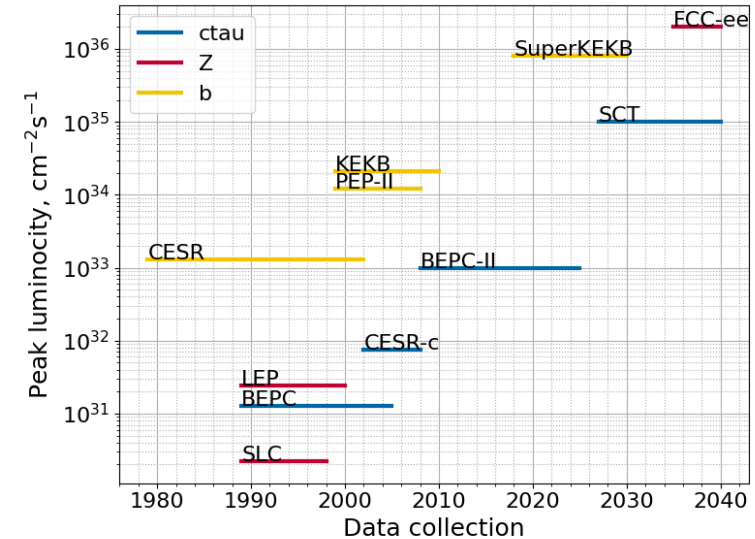
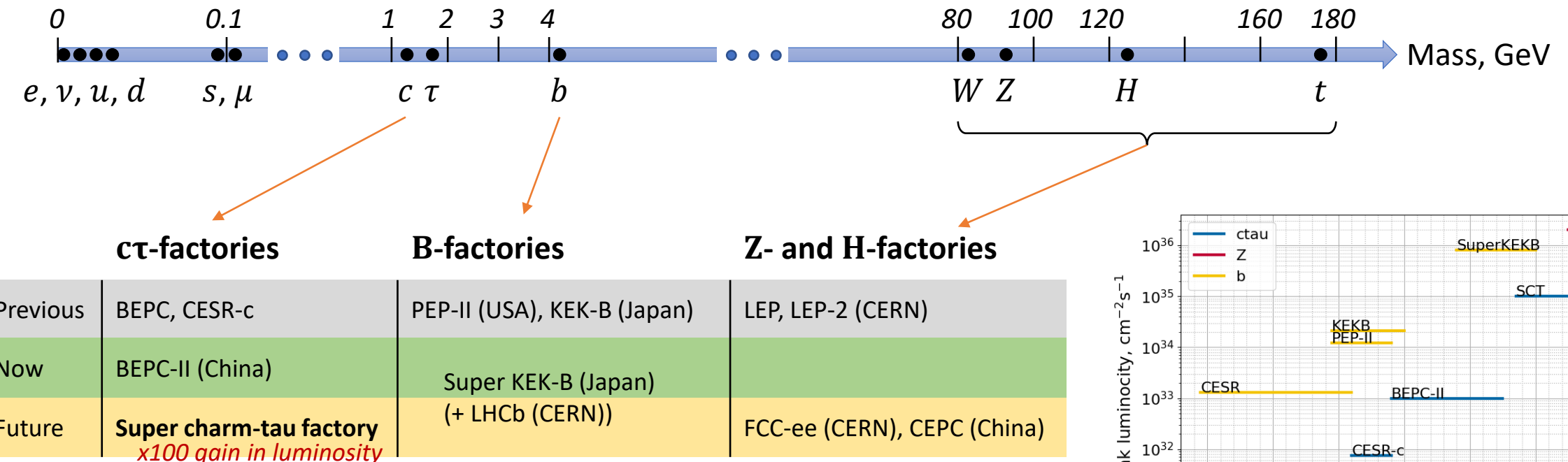
3. Рождение когерентных пар $D^0\bar{D}^0$

- Измерение параметров осцилляций и \mathcal{CP} -нарушения с помощью уникальных методик
- Измерение фаз амплитуд распадов

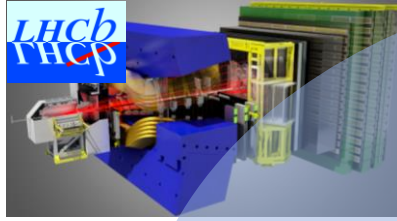
4. Полная реконструкция событий

- Великолепное подавление фона
- Измерение *абсолютных* вероятностей распадов очарованных адронов и τ -лептона

e^+e^- factories for flavor physics



Основной принцип: производим в большом количестве известные частицы и детально изучаем их свойства



$B^0 \rightarrow D^0\pi^+\pi^-$ $B^+ \rightarrow h_1^+h_2^+h_3^-$
Только заряженные частицы
в конечном состоянии

B_s Λ_b
 Ω_b СКМ γ
 Σ_b

$B_s^0 \rightarrow \mu\mu$

$B^0 \rightarrow \mu\mu$
 $D^0 \rightarrow \mu\mu$

$\tau \rightarrow \mu\mu\mu$

Заряженный
Хиггс

Ясный сигнал новой физики

Поиск темной материи

Ясный сигнал новой физики

Новые источники CPV

$D \rightarrow$ невидимое

$\tau \rightarrow \mu\gamma$

Когерентные $D^0\bar{D}^0$

CPV в очарованных
адронах

$\sin\theta_W$

Абсолютные вероятности распадов

Поляризованный пучок

$J/\psi(c\bar{c}) \rightarrow W^+s$ $J/\psi \rightarrow$ адроны

Время жизни и
осцилляции B^0

$D^0 \rightarrow e\mu$

Время жизни и
осцилляции B_s^0

φ_s

CPV в $D^0 \rightarrow h^+h^-$

$B \rightarrow K^*ll$

$B \rightarrow D^*\tau\nu$

Спектроскопия
очарованных адронов

$X(3872) \rightarrow J/\psi\pi\pi$

Осцилляции D^0

$b \rightarrow s/d \gamma$

СКМ α, β

$b \rightarrow ulv$

V_{ub}

V_{cb}

время жизни τ

$B \rightarrow D^0\tau\nu$

$\Upsilon(6S)$

$B \rightarrow K_s^0 K_s^0 K_s^0$

$\Upsilon(5S)$

$B \rightarrow K^+\pi^-\pi^0$

$B \rightarrow h\nu\nu, \tau\nu$

α_s

$D \rightarrow l\nu$

V_{us}

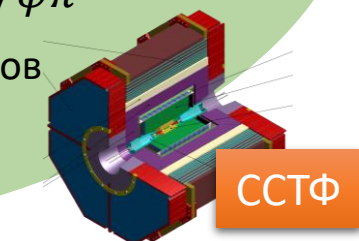
$\tau \rightarrow$ адроны

$\tau \rightarrow l\nu\nu$

Заряженный
Хиггс

LFU

LFU

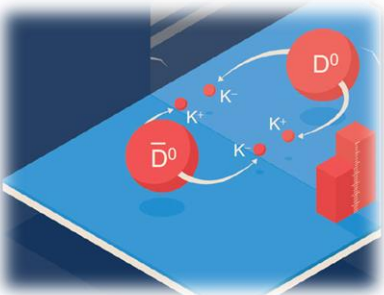


ССТФ

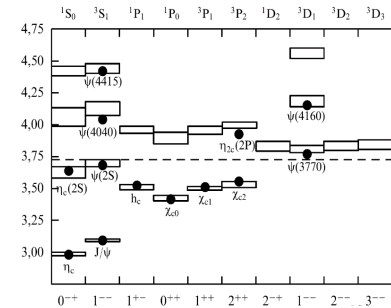


Experiments with charmed hadrons

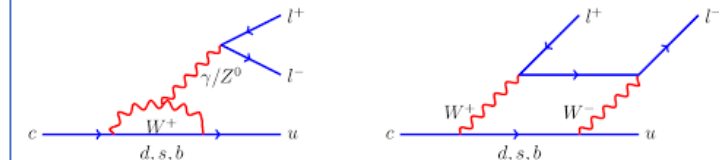
CP symmetry tests



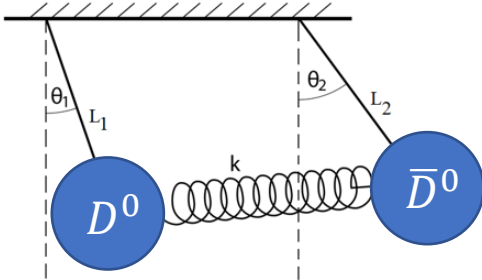
Spectroscopy



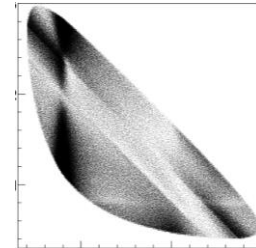
Rare and forbidden decays



Charm mixing



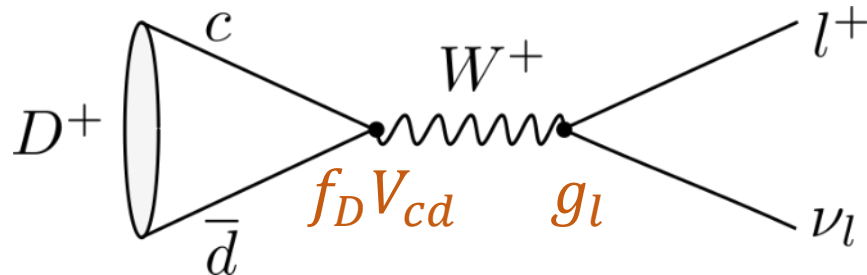
Branching fractions and decay dynamics



Other experiments

- Lepton universality tests
- Decays to invisible
- ...

(Semi-)leptonic $D_{(s)}$ decays



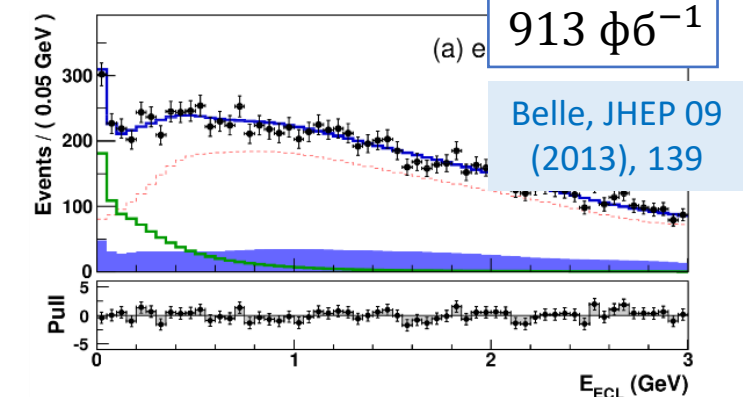
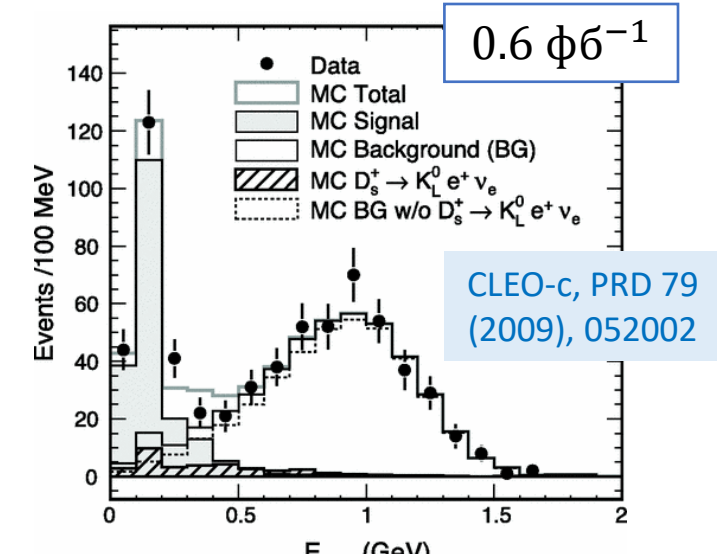
$$\Gamma(D^+ \rightarrow l\nu) = \frac{G_F^2}{8\pi} f_D^2 m_l^2 m_D \left(1 - \frac{m_l^2}{m_D^2}\right) |V_{cd}|^2$$

- Measurement of branching fractions : f_D , V_{cd} , V_{cs}
- Lepton universality test

Table 1: LFU test at BESIII with (semi)leptonic D decays.

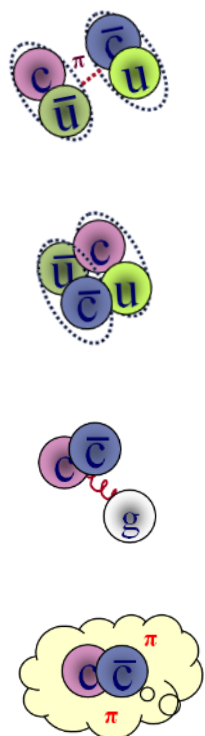
	$R(D_s^+)$	$R(D^+)$	$R(K^-)$	$R(\bar{K}^0)$	$R(\pi^-)$	$R(\pi^0)$
SM	9.74(1)	2.66(1)	0.975(1) [31]	0.975(1) [31]	0.985(2) [31]	0.985(2) [31]
BESIII	9.98(52)	3.21(64)	0.978(14)	0.988(33)	0.922(37)	0.964(45)

$$D_s^+ \rightarrow \tau^+ \nu, \tau^+ \rightarrow e^+ \nu_e \bar{\nu}_\tau$$

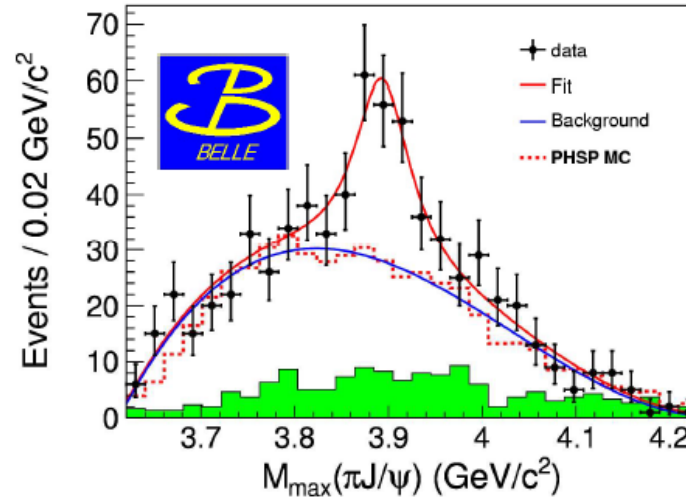


Detailed study of the charmonium-like states

- Existing QCD laboratory
- Cross sections to be measured as function of \sqrt{s} :
 - $e^+e^- \rightarrow J/\psi\pi^+\pi^-$
 - $e^+e^- \rightarrow J/\psi\pi^0\pi^0$
 - $e^+e^- \rightarrow \psi(2S)\pi^+\pi^-$
 - $e^+e^- \rightarrow D\bar{D}, D^*\bar{D}, \dots$
 - $e^+e^- \rightarrow D\bar{D}\gamma$
 - $e^+e^- \rightarrow D\bar{D}(n\pi)$
 - $e^+e^- \rightarrow D_s^+D_s^-$
 - $e^+e^- \rightarrow D_s^+D_s^-(n\pi)$
 - $e^+e^- \rightarrow \Lambda_c\bar{\Lambda}_c$
 - ...

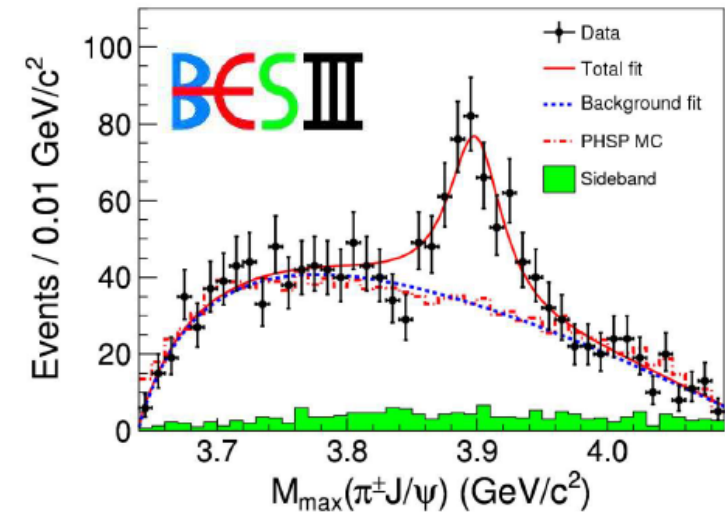


Belle with ISR: PRL110, 252002
967 fb⁻¹ in 10 years running time



- $M = 3894.5 \pm 6.6 \pm 4.5 \text{ MeV}$
- $\Gamma = 63 \pm 24 \pm 26 \text{ MeV}$
- $159 \pm 49 \text{ events}$
- $>5.2\sigma$

BESIII at 4.260 GeV: PRL110, 252001
0.525 fb⁻¹ in one month running time



- $M = 3899.0 \pm 3.6 \pm 4.9 \text{ MeV}$
- $\Gamma = 46 \pm 10 \pm 20 \text{ MeV}$
- $307 \pm 48 \text{ events}$
- $>8\sigma$

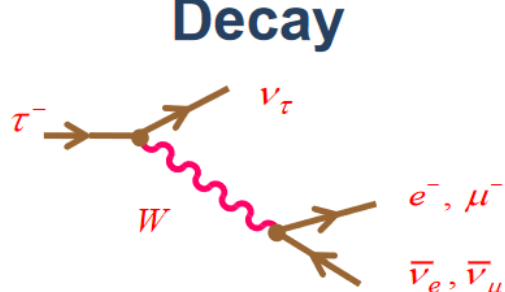
10 years vs. 0.1 year vs. 1 day at SCT



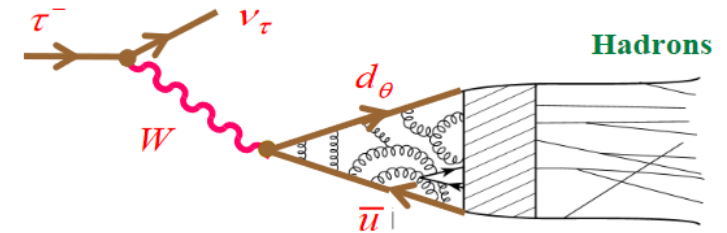
Tau lepton

τ Physics

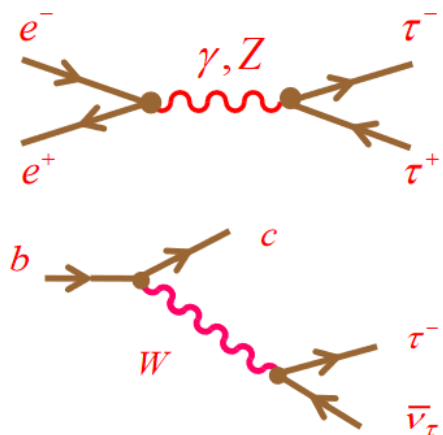
Decay



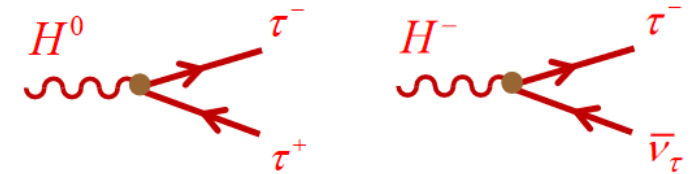
QCD



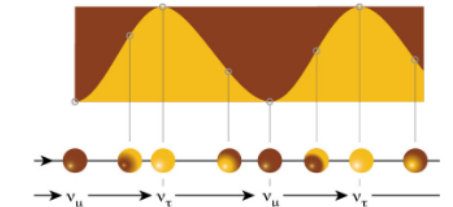
Production



New Physics



Neutrino Physics



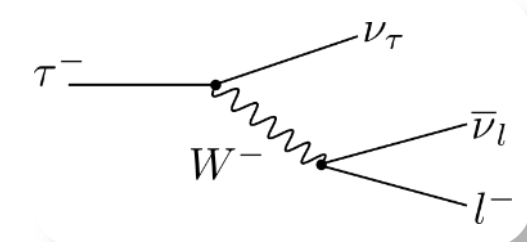
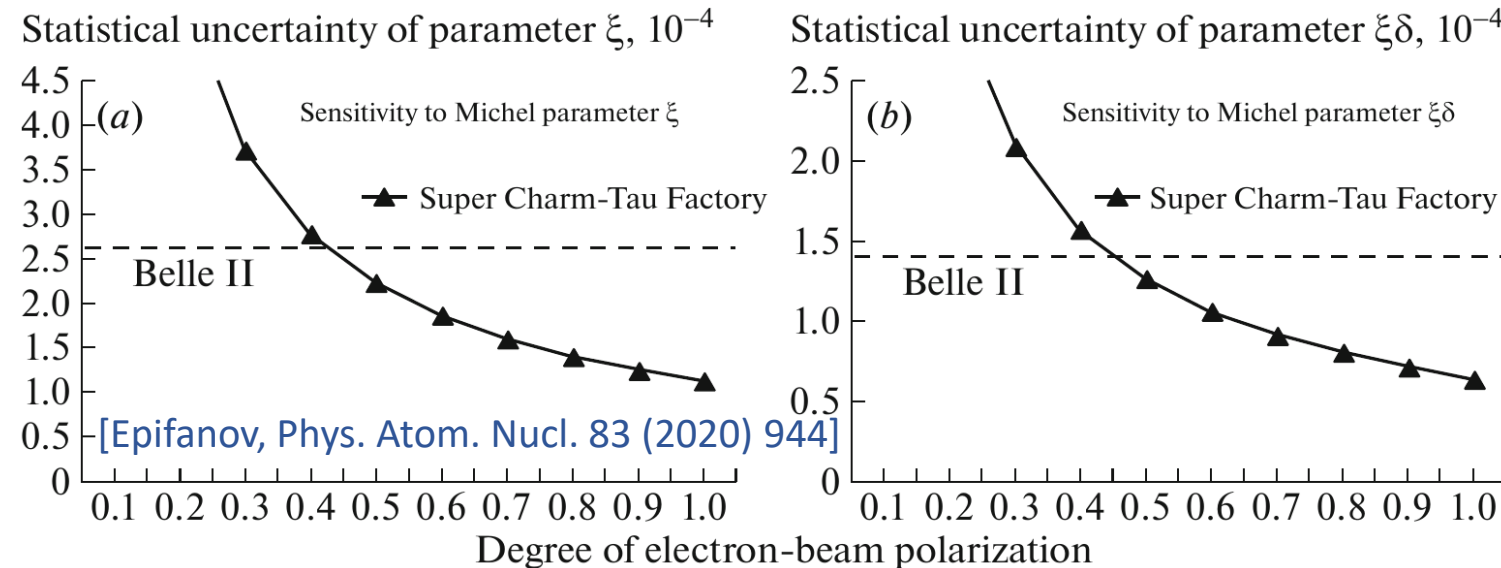
Leptonic τ decays

Michel parameters

$$\frac{d\Gamma(\tau^\mp)}{d\Omega dx} \propto x(1-x) + \frac{2}{9}\rho(4x^2 - 3x - x_0^2) + \eta x_0(1-x) \mp \frac{1}{3}P_\tau \cos \theta_l \xi \sqrt{x^2 - x_0^2} \left[1 - x + \frac{2}{3}\delta \left(4x - 4 + \sqrt{1 - x_0^2} \right) \right]$$

- SCT with polarized electrons allows measurement the tau lepton Michel parameters with precision better than that of Belle II

$$x \equiv \frac{E_l}{E_{\max}}, \quad x_0 \equiv \frac{m_l}{E_{\max}}$$



Hadronic τ decays

Spectral functions

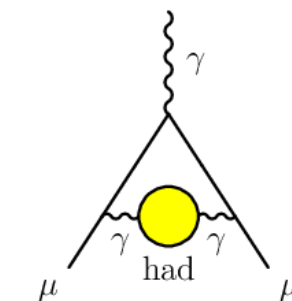
$$\frac{d\Gamma(\tau^- \rightarrow \text{had} \nu_\tau)}{d(\text{phsp})} = \frac{G_F^2}{4m_\tau} |V_{\text{CKM}}|^2 L_{\mu\nu} H^{\mu\nu}$$

- Measuring $|V_{ud}|$, $|V_{us}|$, $\alpha_s(m_\tau)$, and m_s
- Testing the factorization of hadronic and leptonic currents
- Testing conserved vector current
- Hadronic vacuum polarization in the non-perturbative region

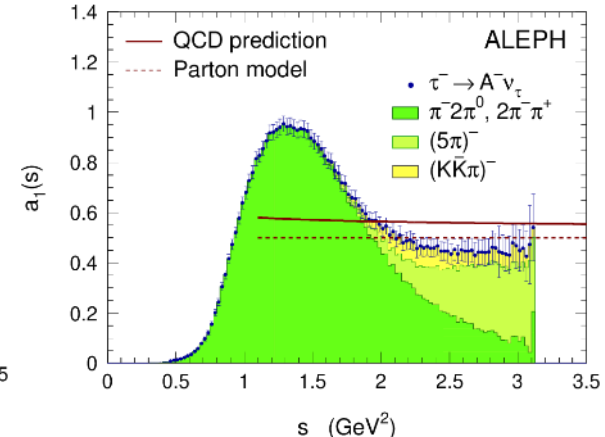
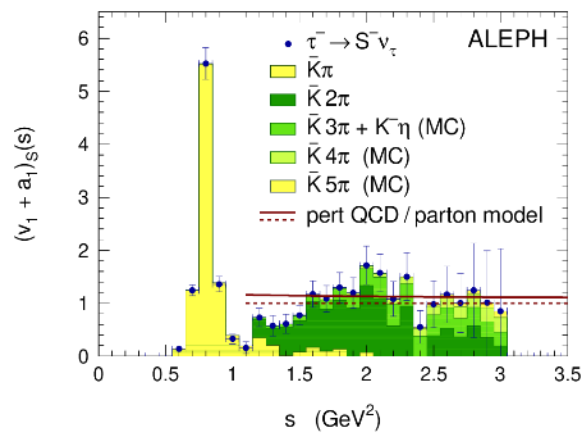
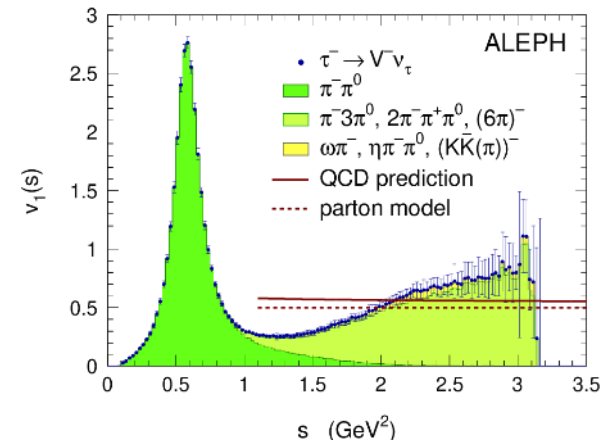
Second class currents

$$J^{PG} = 0^{+-} (a_0), 1^{++} (b_1), \dots$$

- Highly suppressed by isospin ($\tau \rightarrow \eta^{(\prime)} \pi \nu, \dots$)



[Rev. Mod. Phys. 78 (2006) 1043]



LFV and CPV with tau

$\tau \rightarrow \mu\gamma$

- Allowed in several BSM scenario, including SUSY, leptoquarks, technicolor, and extended Higgs models
- $\mathcal{O}(10^{-9})$ – reachable upper limit at SCT for the branching of $\tau \rightarrow \mu\gamma$
- Requires excellent π/μ separation

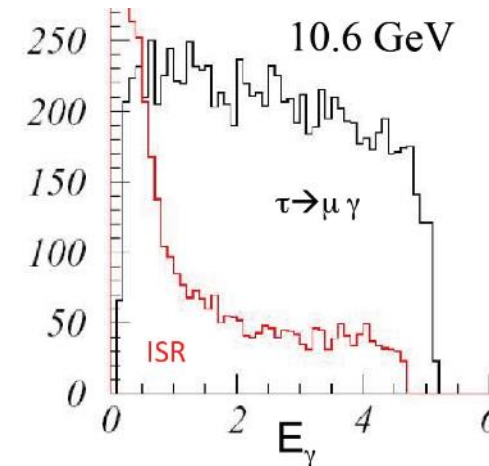
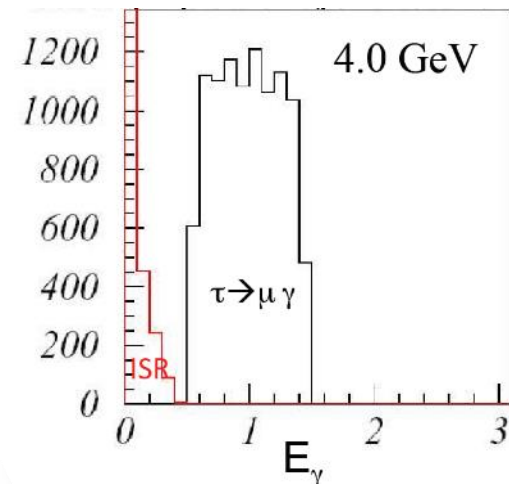
CP symmetry breaking

- CPV in tau production

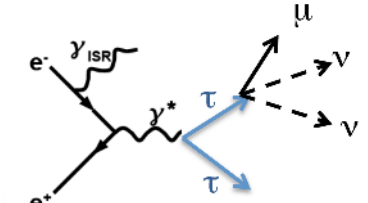
$$J_{EM} \propto F_1 \gamma^\mu + \left(\frac{i}{2m_\tau} F_2 + \gamma^5 F_3 \right) \sigma^{\mu\nu} q_\nu$$

- Current limit: $|d_\tau| \lesssim 10^{-17} e \cdot \text{cm}$
 - Tau EDM with polarized electrons: $\sigma(d_\tau) \sim 10^{-20} e \cdot \text{cm}$
- CPV in tau decays (e.g., $\tau \rightarrow K\pi\nu_\tau$)

ISR photon background [arXiv:1206.1909 [hep-ex]]



Beam polarization is essential
for these measurements
[PRD 51 (1995) 5996]

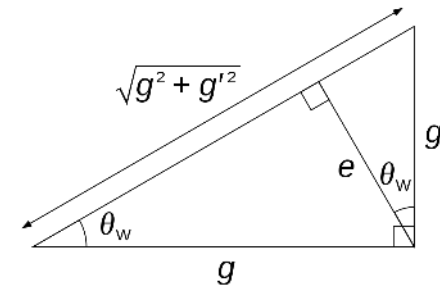


The Weinberg angle

Electroweak model $SU(2)_L \times U(1)_Y$ (Glashow, 1961)

$$A_\mu = B_\mu^0 \cos \theta_W + W_\mu^0 \sin \theta_W$$

$$Z_\mu = W_\mu^0 \cos \theta_W - B_\mu^0 \sin \theta_W$$



J/ψ cross section asymmetry

- Interference between the $e^+e^- \rightarrow \gamma^*, Z \rightarrow J/\psi$ processes produces left-right asymmetry of the total cross section

$$A_{LR} \equiv \frac{\sigma_+ - \sigma_-}{\sigma_+ + \sigma_-} = \frac{3/8 - \sin^2 \theta_{\text{eff}}^c}{2 \sin^2 \theta_{\text{eff}}^c (1 - \sin^2 \theta_{\text{eff}}^c)} \left(\frac{m_{J/\psi}}{m_Z} \right)^2 P_e$$

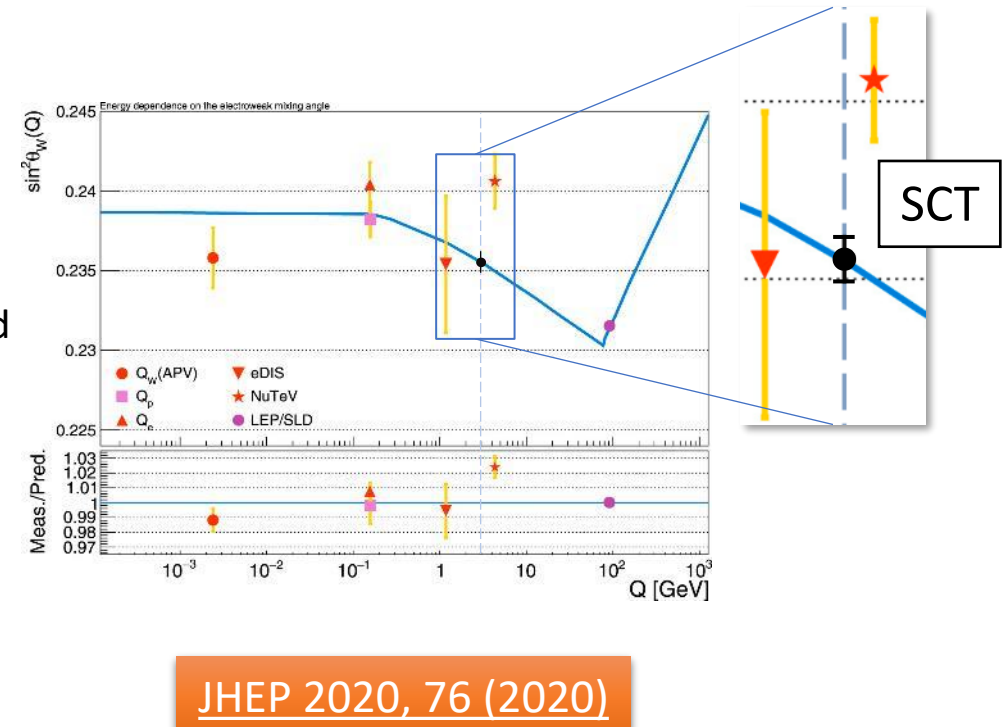
$$A_{LR} \approx 4.7 \times 10^{-4} P_e$$

- σ_+ (σ_-) is the total $e^+e^- \rightarrow J/\psi$ cross section for right- (left-)handed electrons
- P_e is the average electrons polarization, $P_e < 1$

- Statistical precision with a one-year data set:

$$\frac{\sigma(\sin^2 \theta_{\text{eff}}^c)}{\sin^2 \theta_{\text{eff}}^c} \approx 0.3\%, \quad \sigma(\sin^2 \theta_{\text{eff}}^c) \approx 5 \times 10^{-4}$$

- It tests weak interaction of the charm quark
- An opportunity to observe deviation of the $\sin^2 \theta_{\text{eff}}^c$ from its value at Z peak (test of the EW model)



Физическая программа: обновление 2022

Оглавление

Введение	8
1 Чармопий (К.Тоддинаев)	11
1.1 Состояния ниже порога $D\bar{D}$	12
1.2 Изучение изотопических состояний чармоная	14
1.2.1 X-состояния	14
1.2.2 Y-состояния	16
1.2.3 Z-состояния	18
2 Спектроскопия состояний из легких кварков (М.Ачисов)	21
2.1 Легкие кварки в квантовой хромодинамике	22
2.2 Модель конституентных кварков	23
2.3 Экзотические состояния	26
2.3.1 Глюонный	26
2.3.2 Гифризы	28
2.3.3 Многоцветные состояния	28
3 Физика D-мезонов (В.Воробьев)	30
3.1 Введение	30
3.2 Отбор D-мезонов в горячем эксперименте	33
3.3 Спектроскопия D-мезонов	35
3.4 Изучение явлений неокогерентной распадов	39
3.5 Лептонные и полуптонные распады D-мезонов	41
3.6 Редкие и запрещенные распады D-мезонов	45
3.7 Смешивание в системе ненейтральных D-мезонов	50
3.7.1 Введение	50
3.7.2 Распады некогерентных состояний	53
3.7.3 Распады когерентных пар D	54
3.7.4 Анализ распада $D \rightarrow K_S^0 \pi^+ \pi^-$	55
3.8 Изучение сильных фаз в распадах D-мезонов	59
3.9 Измерение сильных фаз в распадах очищенных адронов внейтральных каналах (В.Попов, П.Паслов)	64
3.9.1 Измерение сильных фаз с использованием поддунитонных распадовнейтральных канонов	66
3.9.2 Измерение сильных фаз с использованием СР-составного конечного состояния нейтрального канона	67
3.9.3 Оценка потенциальной точности измерения сильных фаз	68

6

4 Очарованные барионы (Т.Углов)	70
4.1 Изменение форм-факторов очарованных барионов	71
4.2 Поиск СР-нарушений в распадах очарованных барионов	73
5 Физика τ -лектона (Д.Ениеванов)	75
5.1 Введение	75
5.2 Свойства τ -лектона	76
5.2.1 Проверка лектонной универсальности	76
5.2.2 Масса τ -лектона	77
5.2.3 Время жизни τ -лектона	78
5.2.4 Электрический и магнитный дипольные моменты τ -лектона	79
5.3 Лептонные распады τ -лектона	81
5.3.1 Сложная структура заряженного слабого взаимодействия	81
5.3.2 Особые лептонные распады τ -лектона	83
5.3.3 Радиационные лептонные распады τ -лектона	84
5.3.4 Патологичные лептонные распады τ -лектона	86
5.4 Адронные распады τ -лектона	89
5.4.1 $\tau \rightarrow P \nu_P$, ($P = \pi, K$)	89
5.4.2 $\tau \rightarrow P' \nu_{P'} \pi$ и $\tau \rightarrow P' C' \ell' \nu_\ell$, ($P = \pi, K$, $\ell = e, \mu$)	90
5.4.3 $\tau \rightarrow \pi^0 \pi^0$	91
5.4.4 Поиск токов второго класса в адровых распадах τ -лектона	92
5.4.5 Адронные распады τ в состоянии с квазами в конечном состоянии	94
5.5 СР-нарушение в распадах τ -лектона	97
5.6 Использование лептонного ядра в распадах τ -лектона	101
5.7 Измерение параметров Мицели в распадах $\tau^+ \rightarrow \mu^+ \nu_\mu \ell_i$ с распадами моно- τ лету (Д.Борзов)	102
6 Измерение соединения $e^+e^- \rightarrow$ адроны	106
7 Двухфотонная физика (В.Дружинин)	110
8 Поиск Новой физики в распадах ϕ -кварка	111
8.1 Переходы $c \rightarrow (s, d) l^\dagger l_1$	112
8.2 Переходы $c \rightarrow u^\dagger \Gamma$, $c \rightarrow u \tau$, $c \rightarrow u \eta \theta$	117
Заключение	121

7

Скоро на sct.inp.nsk.su

- 2021: ≈ 40 страниц
- 2022: ≈ 120 страниц
- Около 10 активных авторов из ФИАН и ИЯФ
- Редакторы:
 - Г.В. Пахлова (ФИАН)
 - А.Е. Бондарь (ИЯФ)

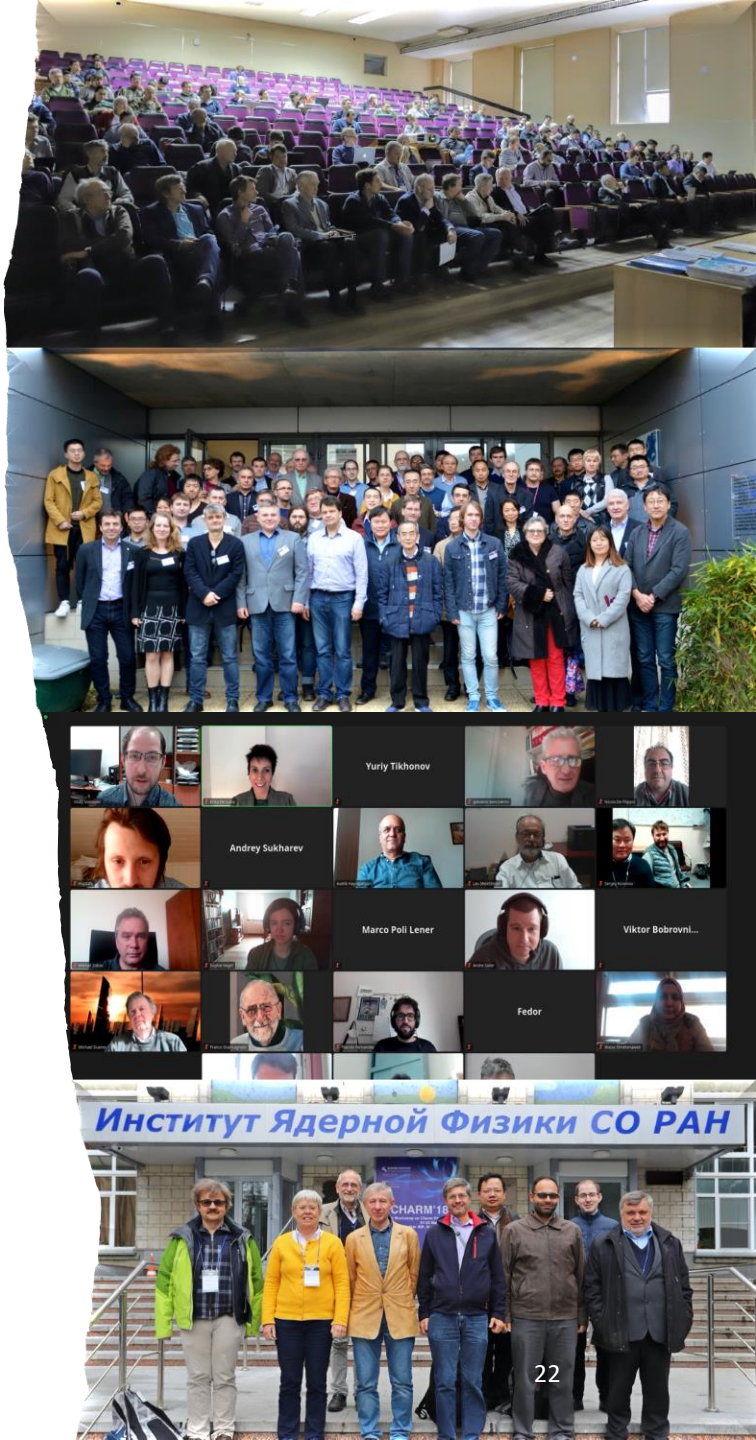
Регулярные международные совещания с обсуждением физической программы эксперимента

Workshops on future super charm tau factories:

1. December 2017, Novosibirsk ([link](#))
2. March 2018, Beijing ([link](#))
3. May 2018, Novosibirsk ([link](#))
4. December 2018, Orsay ([link](#))
5. November 2019, Moscow ([link](#)) + 1st general WP5 meeting
6. November 2020, Hefei (online, [link](#))
7. November 2021, Novosibirsk (hybrid, [link](#)) as 5th general WP5 meeting

CREMLINplus WP5 meetings:

8. 2nd general WP5 meeting, September 2020 (online, [link](#))
9. 3rd general WP5 meeting, February 2021 (online, [link](#))
10. 4th general WP5 meeting, July 2021 (online, [link](#))
11. The SCT Partnership kick-off meeting, November 18th, 2021 ([link](#))



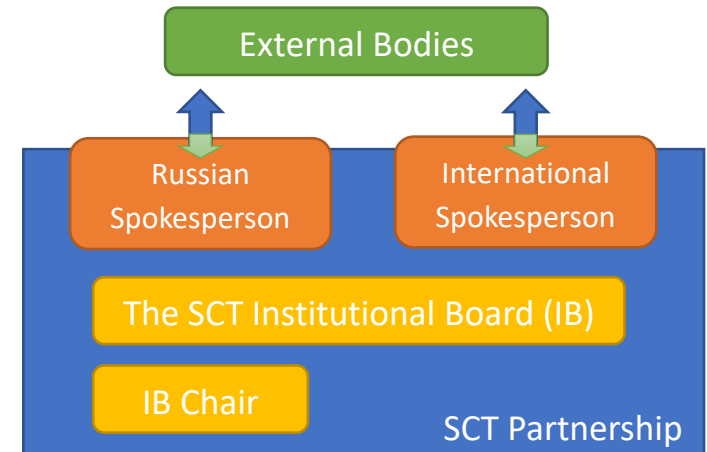
The SCT Partnership (SCTP)



Ivan Logashenko
IB Chair



Pavel Pakhlov
Russian Spokesperson



- 18 ноября 2021 запущено Партнерство, в задачи которого входит:
 1. Подготовка технического проекта детектора
 2. Развитие физической программы эксперимента
 3. Разработка правил работы для будущей полноценной коллаборации
- sct.inp.nsk.su/partnership

A Annex 1. The Partners

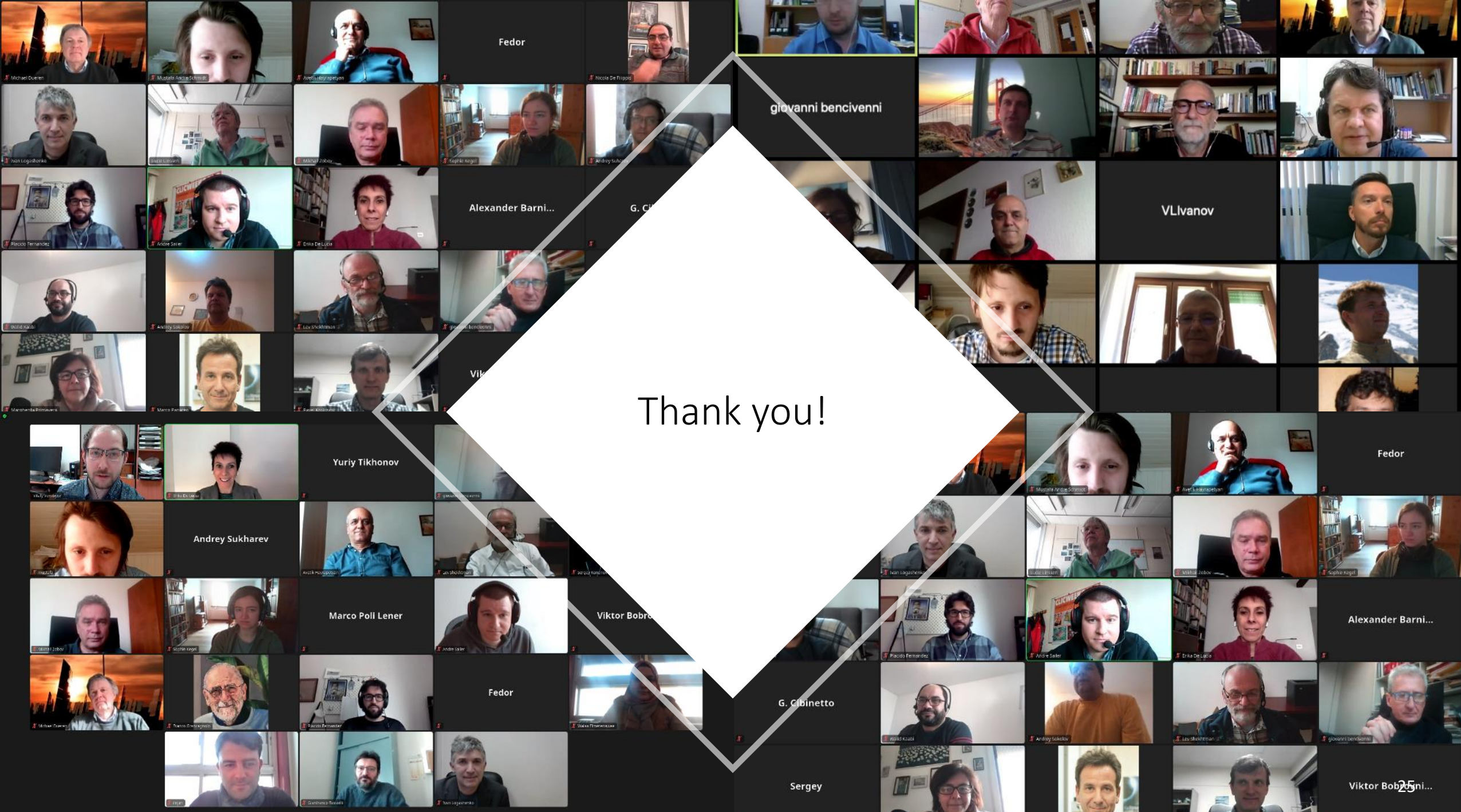
List of all Partners. To be updated each time a new Partner has joined.

Country	Affiliation	LoI signing date
Germany	Justus Liebig University (JLU) Giessen	2021.09.22
Russia	Novosibirsk State Technical University (NSTU)	2021.09.24
Russia	Novosibirsk State University (NSU)	2021.10.11
Russia	P.N. Lebedev Physical Institute of Russian Academy of Science (LPI RAS)	2021.10.11
Russia	Budker Institute of Nuclear Physics (BINP)	2021.10.13
Russia	Lomonosov Moscow State University Skobeltsyn Institute of Nuclear Physics (SINP MSU)	2021.10.29
Mexico	Physics Department, Center for Research and Advanced Studies (Cinvestav)	2021.11.12
International	Joint Institute for Nuclear Research (JINR)	2021.11.15
Russia	Higher School of Economics (HSE) University	2021.11.15
Russia	Institute of Nuclear and Radiation Physics (INRP) RFNC-VNIIEF	2021.11.16

Table 1: Updated on November 18, 2021.

Заключение

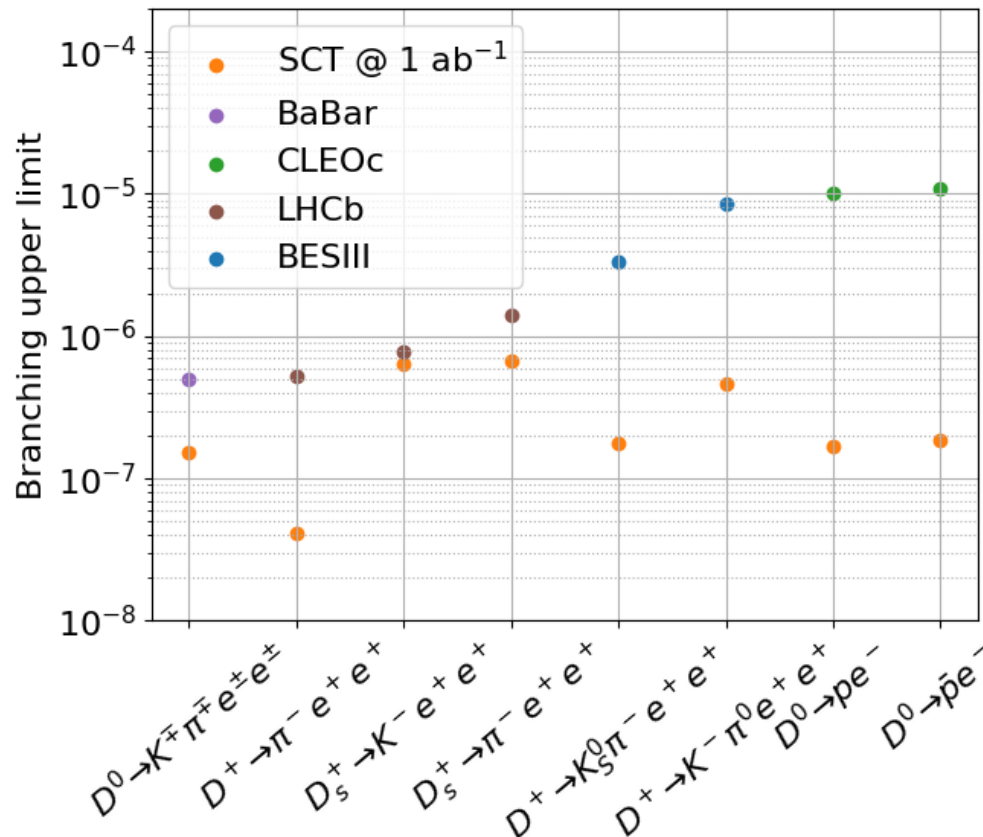
1. Прецизионные эксперименты (а не энергетический предел) будет определять актуальное состояние физики частиц в ближайшие десятилетия
2. Физическая программа ССТФ – уникальная и разнообразная
3. ССТФ – первая фабрика тяжелых ароматов с поляризованным пучком электронов
4. Развитие физической программы ССТФ – естественный и организационно самый простой способ сотрудничества



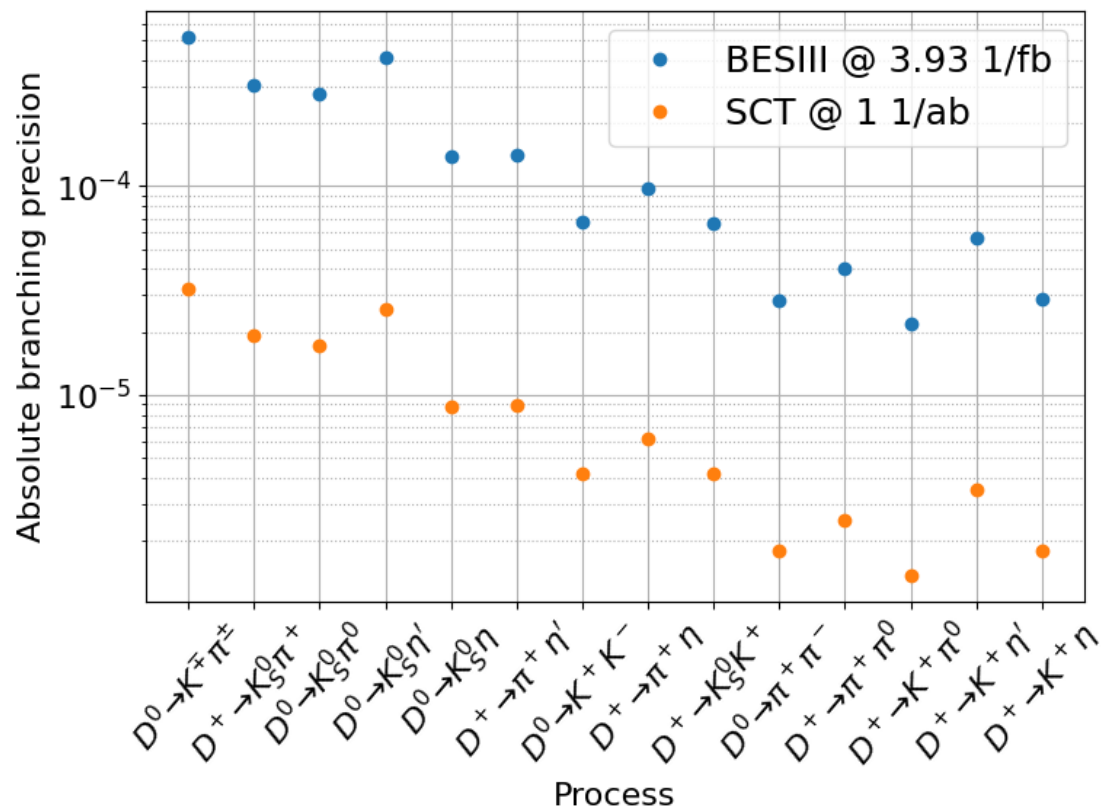
Backup

Прецизионное измерение вероятностей распадов и поиск запрещенных распадов D -мезонов

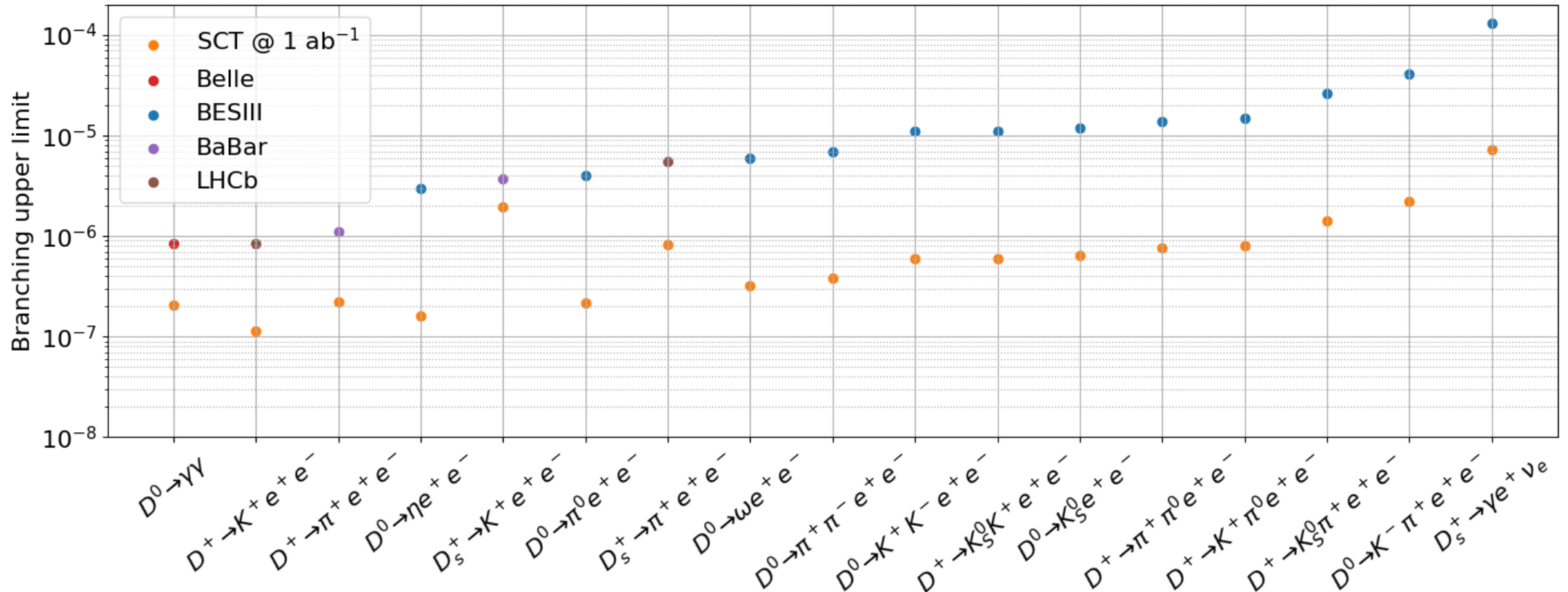
Верхние пределы на вероятности запрещенных распадов: прямой поиск НФ

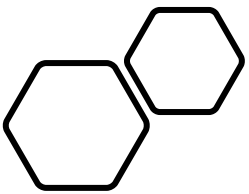


Прецизионное измерение вероятностей распадов



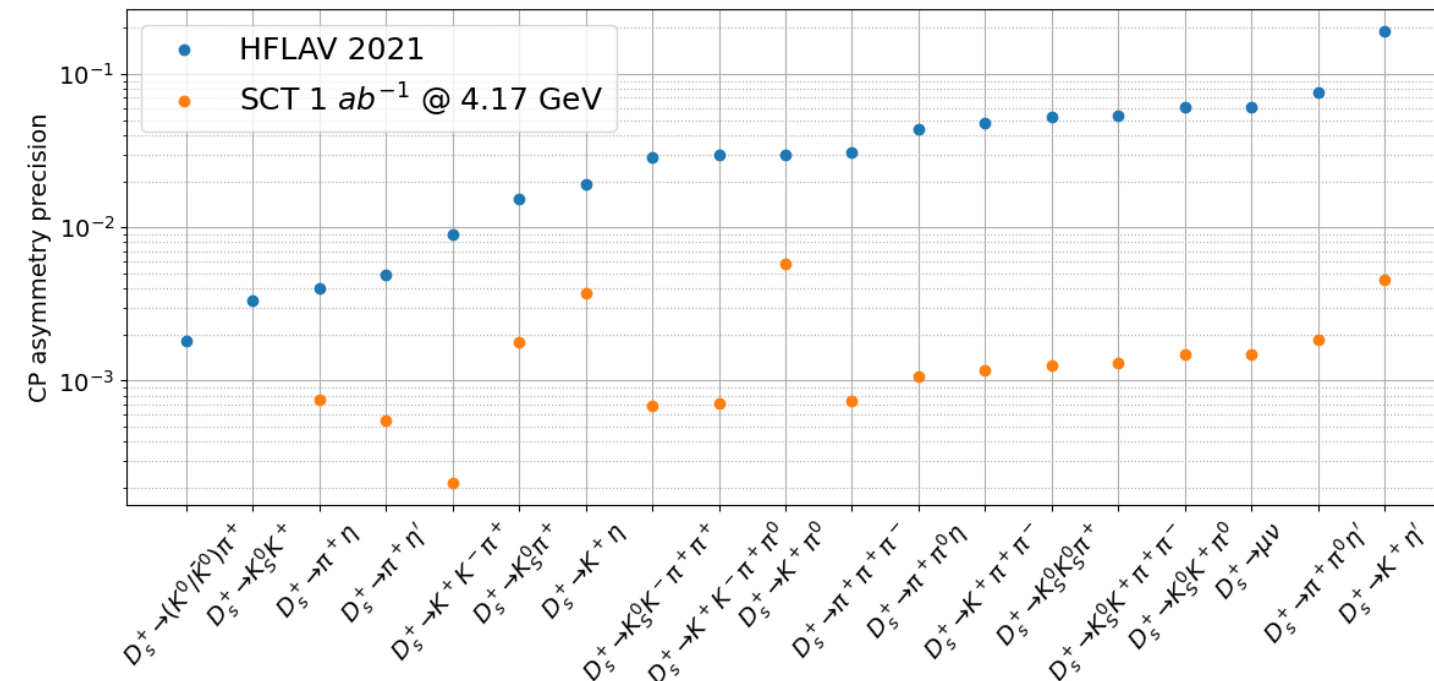
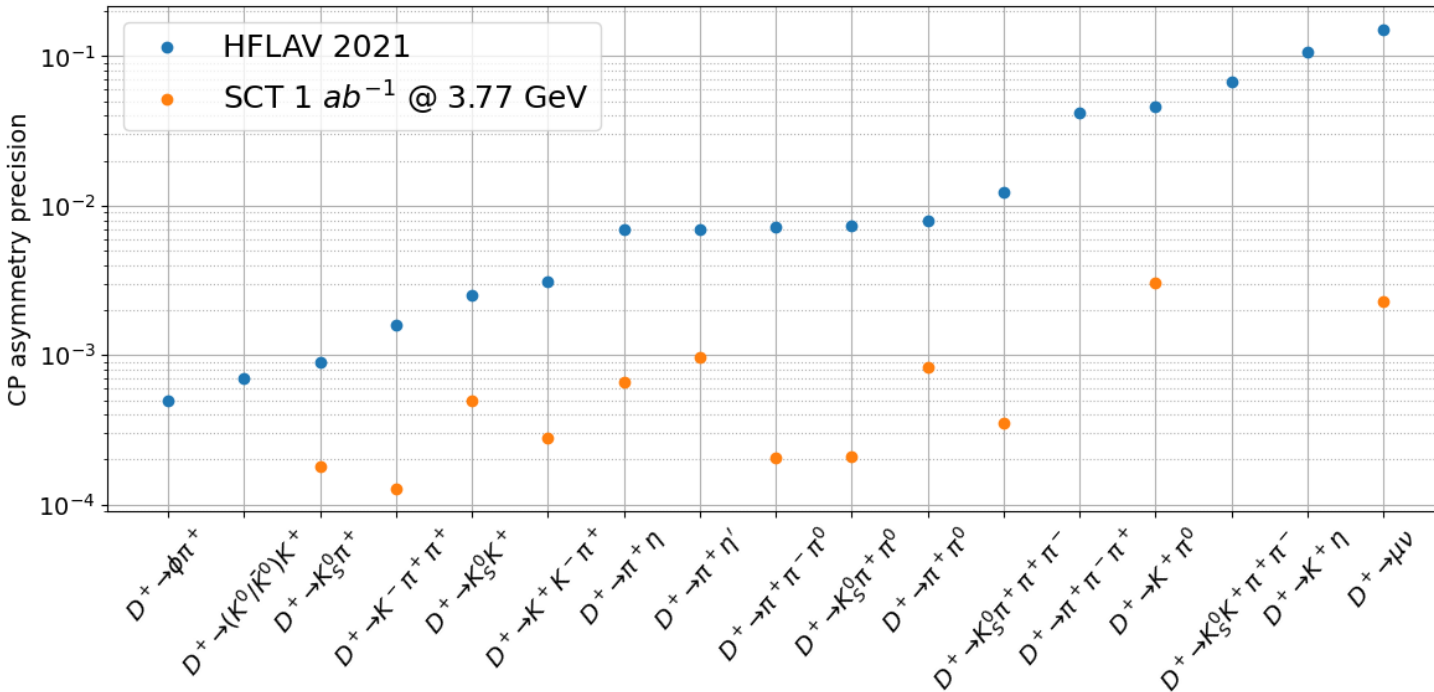
Поиск редких распадов D -мезонов





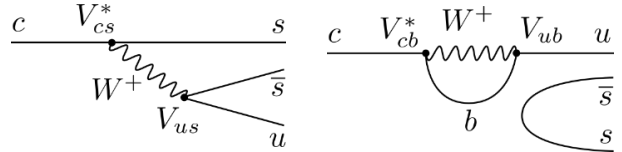
Изучение нарушения CP -симметрии в распадах D -мезонов

- Единственный эксперимент, чувствительный с CP -асимметрии в распадах D -мезонов на уровне $\mathcal{O}(10^{-3})$ в десятках конечных состояний, в том числе с нейтральными частицами в конечном состоянии



Ключевые задачи – лучшая мировая точность

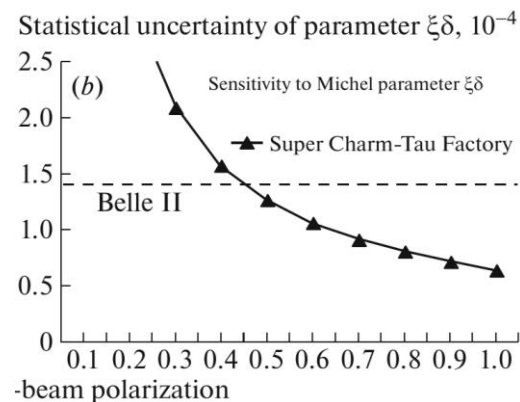
Систематическое изучение нарушения CP -симметрии в распадах D -мезонов



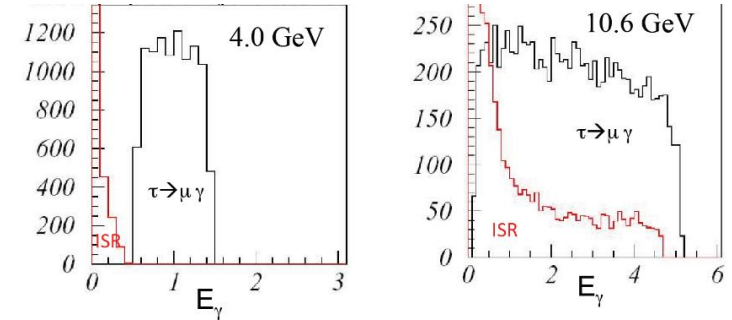
Всестороннее изучение феноменологии сильного взаимодействия в непертурбативной области



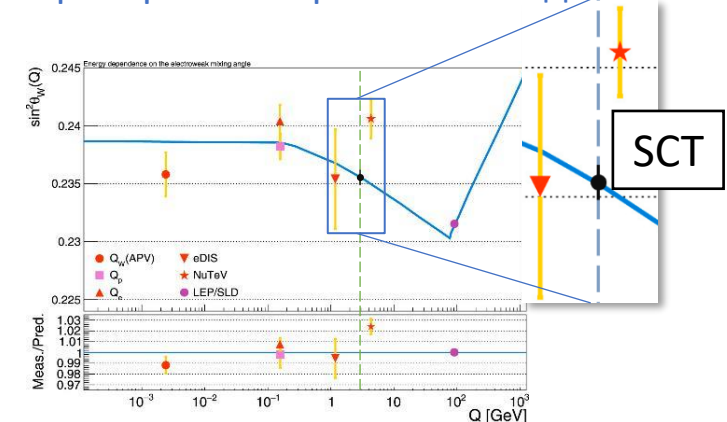
Прецизионное изучение Лоренц-структуры слабого заряженного тока в распадах $\tau \rightarrow l\bar{\nu}\nu$



Поиск запрещенного распада $\tau \rightarrow \mu\nu$



Измерение угла Вайнберга – прецизионная проверка электрослабой модели



Leptonic τ decays

Michel parameters

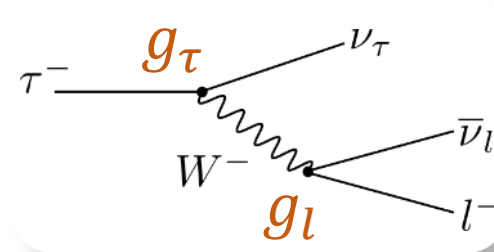
$$\frac{d\Gamma(\tau^\mp)}{d\Omega dx} \propto x(1-x) + \frac{2}{9}\rho(4x^2 - 3x - x_0^2) + \eta x_0(1-x) \mp \frac{1}{3}P_\tau \cos \theta_l \xi \sqrt{x^2 - x_0^2} \left[1 - x + \frac{2}{3}\delta \left(4x - 4 + \sqrt{1 - x_0^2} \right) \right]$$

- SCT with polarized electrons allows measurement the tau lepton Michel parameters with precision better than that of Belle II

$$x \equiv \frac{E_l}{E_{\max}}, \quad x_0 \equiv \frac{m_l}{E_{\max}}$$

Lepton universality test

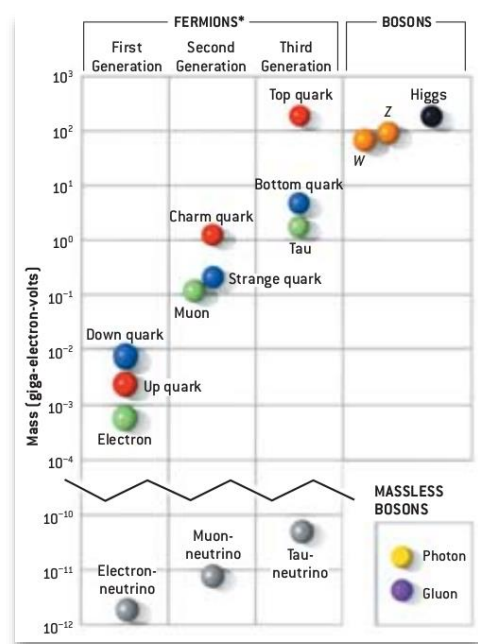
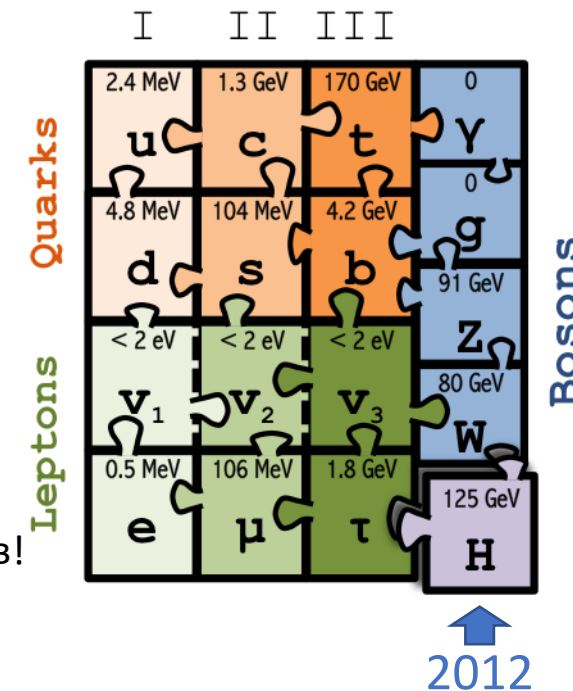
$$\Gamma(\tau^- \rightarrow \nu_\tau l^- \bar{\nu}_l) = \frac{G_\tau G_l m_\tau^5}{192\pi^3} f\left(\frac{m_l^2}{m_\tau^2}\right) r_{\text{EW}}$$



Parameter	Expectation	Best measurement
$\frac{\mathcal{B}(\tau^- \rightarrow \nu_\tau \mu^- \bar{\nu}_\mu)}{\mathcal{B}(\tau^- \rightarrow \nu_\tau e^- \bar{\nu}_e)}$	0.972564 ± 0.000010	$0.9796 \pm 0.0016 \pm 0.0036$ [BaBar, PRL 105 (2010) 051602]

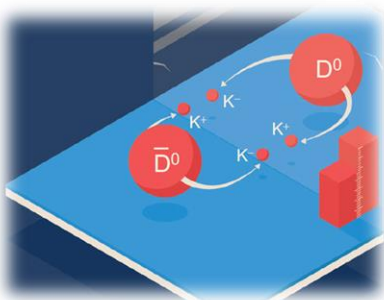
Статус Стандартной модели ФЭЧ

- Стандартная модель (СМ) – самая успешная физическая теория *на данный момент*
 - Калибровочные поля: переносчики взаимодействий
 - Поля материи: три поколения лептонов и кварков
 - Механизм Хиггса
- Границы применимости СМ
 - Темная материя
 - Масса нейтрино
 - Барионная асимметрия Вселенной
 - Проблема иерархий (почему бозон Хиггса такой легкий?)
 - Загадка аромата: почему три поколения? 18 (25) параметров!
 - ...
- Поиск Новой физики (НФ)
 - СМ может оказаться низкоэнергетичным приближением *более общей и красивой теории*
 - Наша задача – обнаружить явления, которые откроют дорогу к построению более общей теории

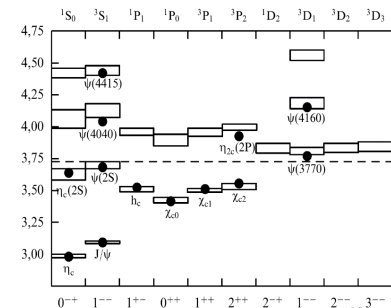


Эксперименты с очарованными адронами

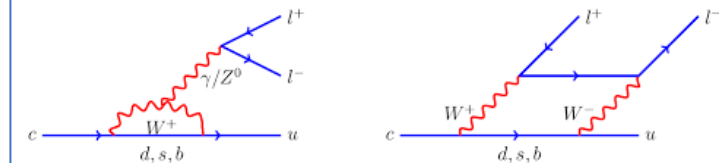
CP symmetry tests



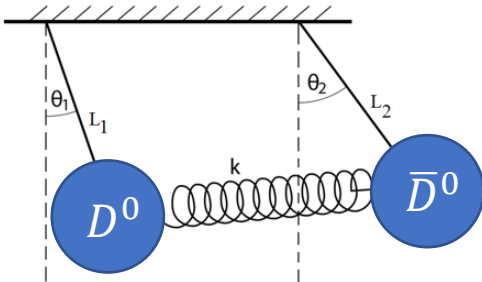
Spectroscopy



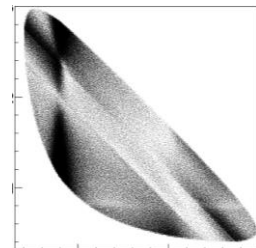
Rare and forbidden decays



Charm mixing



Branching fractions and decay dynamics



Other experiments

- Lepton universality tests
- Decays to invisible
- ...

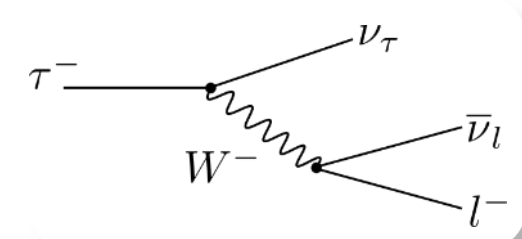
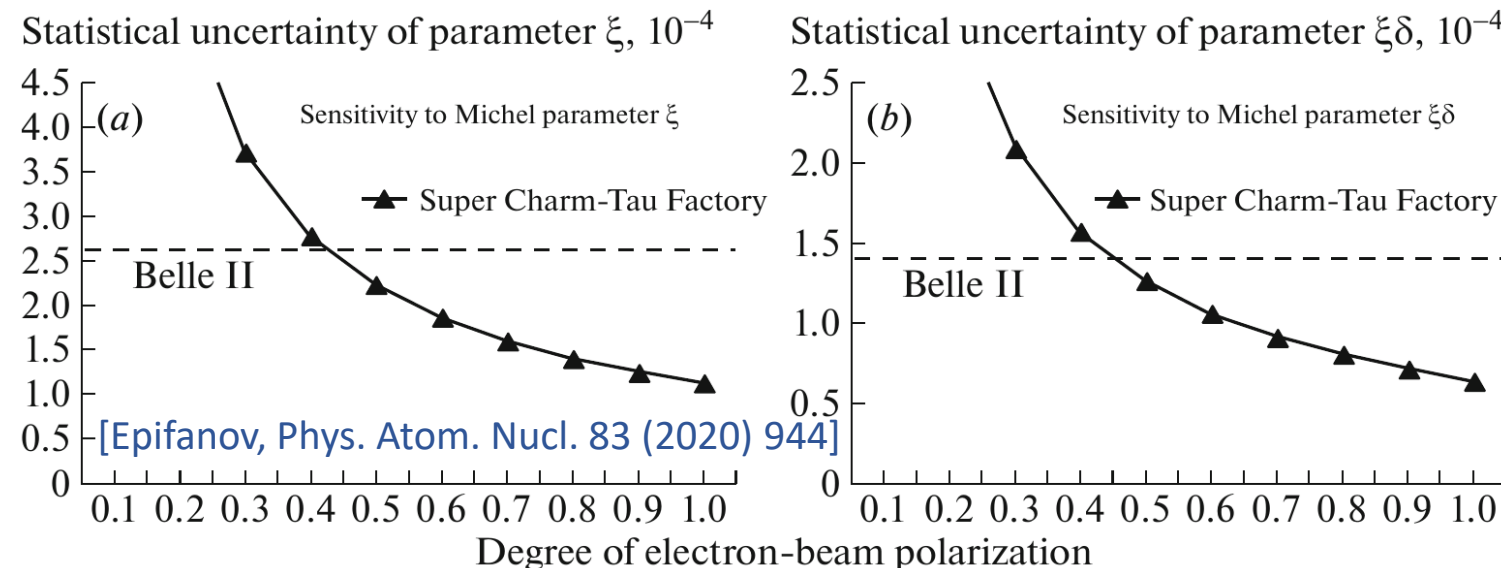
Leptonic τ decays

Michel parameters

$$\frac{d\Gamma(\tau^\mp)}{d\Omega dx} \propto x(1-x) + \frac{2}{9}\rho(4x^2 - 3x - x_0^2) + \eta x_0(1-x) \mp \frac{1}{3}P_\tau \cos \theta_l \xi \sqrt{x^2 - x_0^2} \left[1 - x + \frac{2}{3}\delta \left(4x - 4 + \sqrt{1 - x_0^2} \right) \right]$$

- SCT with polarized electrons allows measurement the tau lepton Michel parameters with precision better than that of Belle II

$$x \equiv \frac{E_l}{E_{\max}}, \quad x_0 \equiv \frac{m_l}{E_{\max}}$$



Leptonic τ decays

Michel parameters

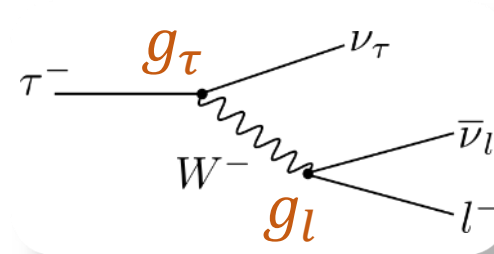
$$\frac{d\Gamma(\tau^\mp)}{d\Omega dx} \propto x(1-x) + \frac{2}{9}\rho(4x^2 - 3x - x_0^2) + \eta x_0(1-x) \mp \frac{1}{3}P_\tau \cos \theta_l \xi \sqrt{x^2 - x_0^2} \left[1 - x + \frac{2}{3}\delta \left(4x - 4 + \sqrt{1 - x_0^2} \right) \right]$$

- SCT with polarized electrons allows measurement the tau lepton Michel parameters with precision better than that of Belle II

$$x \equiv \frac{E_l}{E_{\max}}, \quad x_0 \equiv \frac{m_l}{E_{\max}}$$

Lepton universality test

$$\Gamma(\tau^- \rightarrow \nu_\tau l^- \bar{\nu}_l) = \frac{G_\tau G_l m_\tau^5}{192\pi^3} f\left(\frac{m_l^2}{m_\tau^2}\right) r_{\text{EW}}$$



Parameter	Expectation	Best measurement
$\frac{\mathcal{B}(\tau^- \rightarrow \nu_\tau \mu^- \bar{\nu}_\mu)}{\mathcal{B}(\tau^- \rightarrow \nu_\tau e^- \bar{\nu}_e)}$	0.972564 ± 0.000010	$0.9796 \pm 0.0016 \pm 0.0036$ [BaBar, PRL 105 (2010) 051602]

Release of the software framework for SCT detector

- ✓ The Aurora Software Framework v.1.0.0 is released
 - The framework is essential for designing the detector and studying the physics case
- ✓ The development was reported on the vCHEP21 conference. Proceedings are published

Major achievement

EPJ Web of Conferences **251**, 03017 (2021)
CHEP 2021

<https://doi.org/10.1051/epjconf/202125103017>

doi.org/10.1051/epjconf/202125103017

Software framework for the Super Charm-Tau factory detector project

Maria Belozyorova^{1,2}, Dmitry Maksimov^{1,2}, Georgiy Razuvaev^{1,2}, Andrey Sukharev^{1,2}, Vitaly Vorobьев^{1,2}, Anastasiia Zhdan^{1,2,*}, and Daniil Zhdan^{1,2,**}

¹Budker Institute of Nuclear Physics, 11, akademika Lavrentieva prospect, Novosibirsk, 630090, Russia

²Novosibirsk State University, 1, Pirogova street, Novosibirsk, 630090, Russia

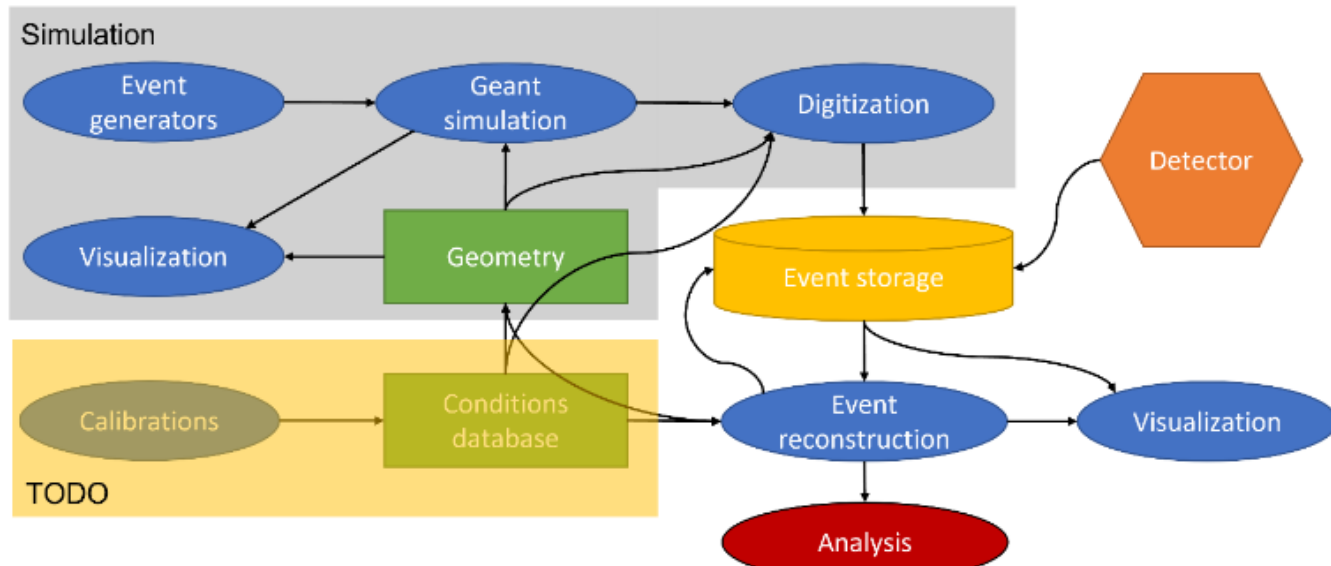
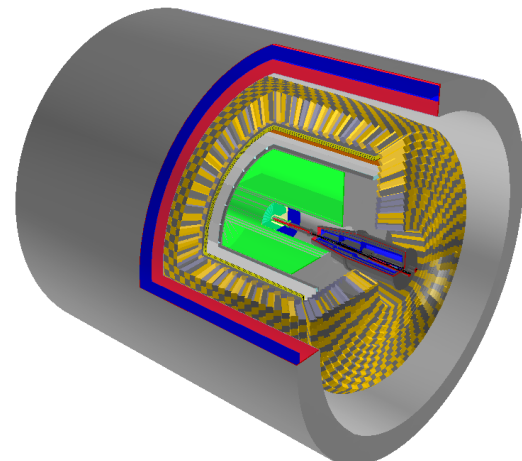


Fig. 1. Main data flows and operations in the detector software.



Work on the SCT detector software is in progress. There are still many components to be implemented

Hadronic τ decays

Spectral functions

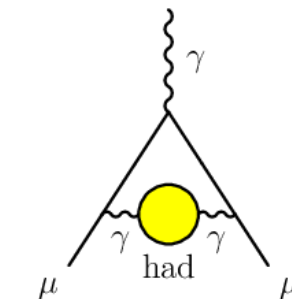
$$\frac{d\Gamma(\tau^- \rightarrow \text{had} \nu_\tau)}{d(\text{phsp})} = \frac{G_F^2}{4m_\tau} |V_{\text{CKM}}|^2 L_{\mu\nu} H^{\mu\nu}$$

- Measuring $|V_{ud}|$, $|V_{us}|$, $\alpha_s(m_\tau)$, and m_s
- Testing the factorization of hadronic and leptonic currents
- Testing conserved vector current
- Hadronic vacuum polarization in the non-perturbative region

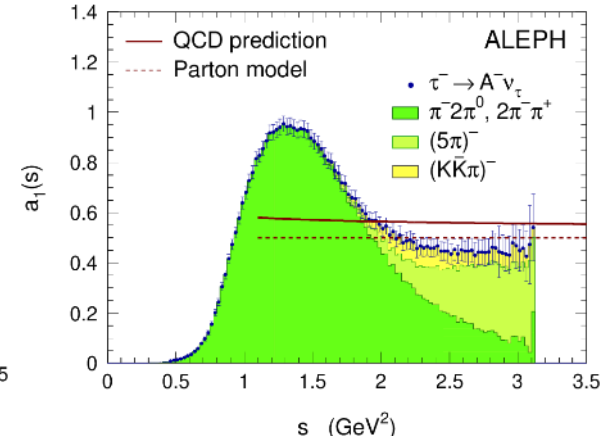
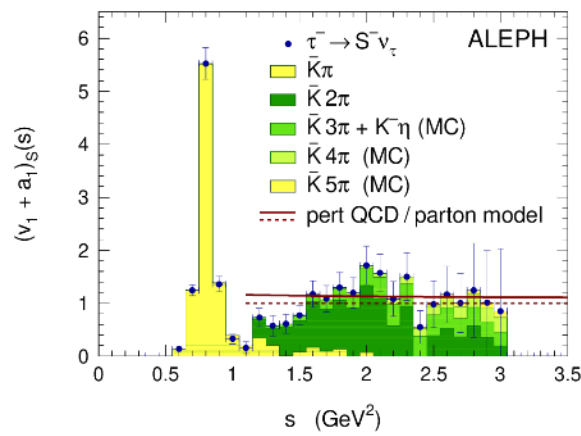
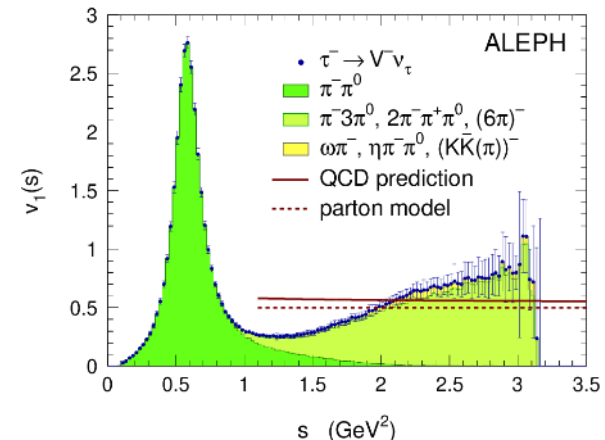
Second class currents

$$J^{PG} = 0^{+-} (a_0), 1^{++} (b_1), \dots$$

- Highly suppressed by isospin ($\tau \rightarrow \eta^{(\prime)} \pi \nu, \dots$)



[Rev. Mod. Phys. 78 (2006) 1043]



LFV and CPV with tau

$\tau \rightarrow \mu\gamma$

- Allowed in several BSM scenario, including SUSY, leptoquarks, technicolor, and extended Higgs models
- $\mathcal{O}(10^{-9})$ – reachable upper limit at SCT for the branching of $\tau \rightarrow \mu\gamma$
- Requires excellent π/μ separation

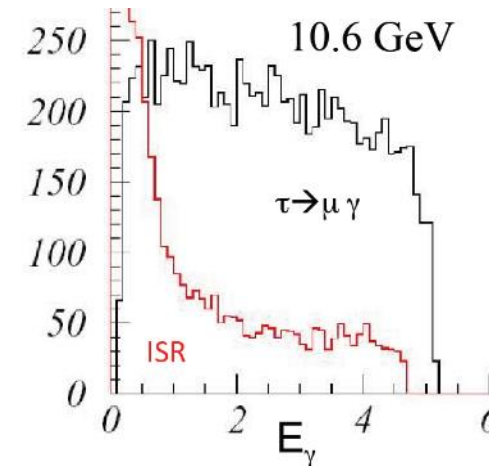
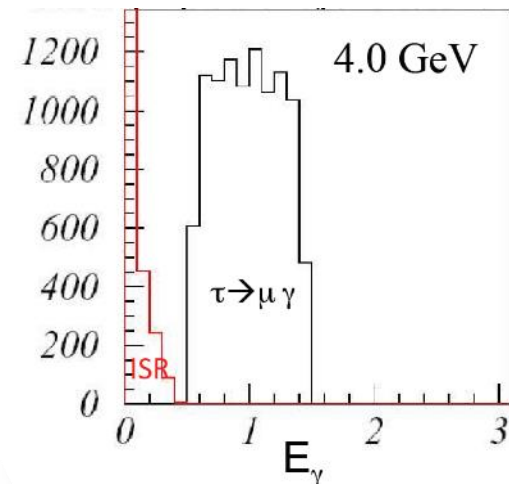
CP symmetry breaking

- CPV in tau production

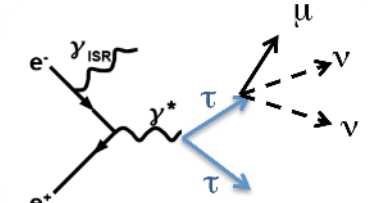
$$J_{EM} \propto F_1 \gamma^\mu + \left(\frac{i}{2m_\tau} F_2 + \gamma^5 F_3 \right) \sigma^{\mu\nu} q_\nu$$

- Current limit: $|d_\tau| \lesssim 10^{-17} e \cdot \text{cm}$
 - Tau EDM with polarized electrons: $\sigma(d_\tau) \sim 10^{-20} e \cdot \text{cm}$
- CPV in tau decays (e.g., $\tau \rightarrow K\pi\nu_\tau$)

ISR photon background [arXiv:1206.1909 [hep-ex]]



Beam polarization is essential
for these measurements
[PRD 51 (1995) 5996]



Измерение угла Вайнберга

- Interference between the $e^+e^- \rightarrow \gamma^*, Z \rightarrow J/\psi$ processes produces left-right asymmetry of the total cross section

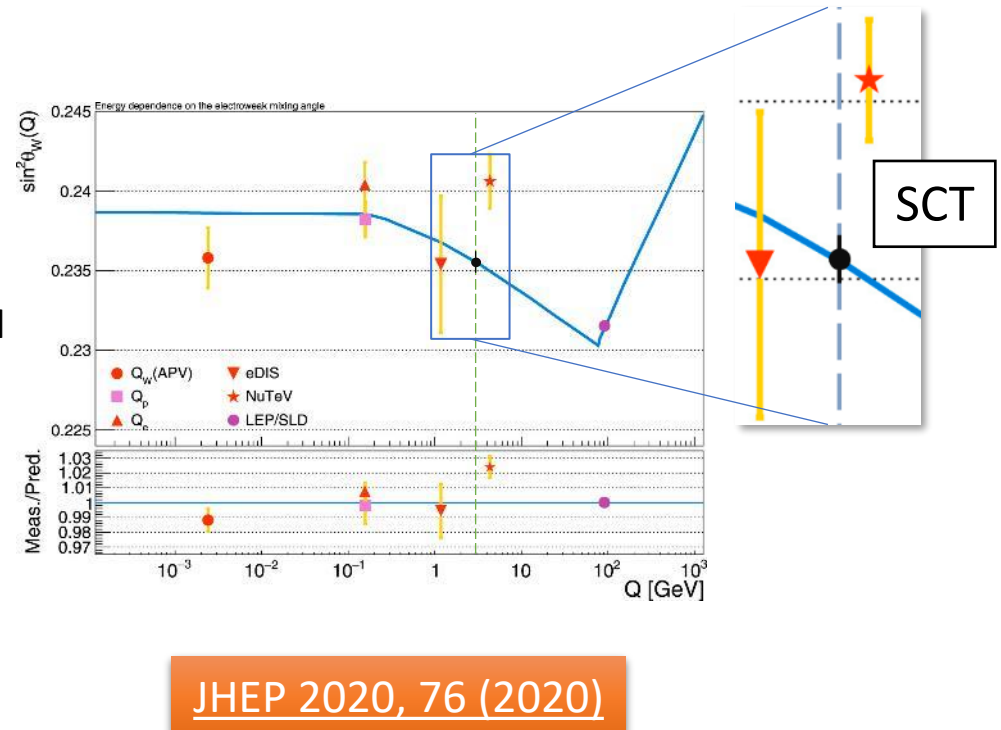
$$A_{LR} \equiv \frac{\sigma_+ - \sigma_-}{\sigma_+ + \sigma_-} = \frac{3/8 - \sin^2 \theta_{\text{eff}}^c}{2 \sin^2 \theta_{\text{eff}}^c (1 - \sin^2 \theta_{\text{eff}}^c)} \left(\frac{m_{J/\psi}}{m_Z} \right)^2 P_e$$

$$A_{LR} \approx 4.7 \times 10^{-4} P_e$$

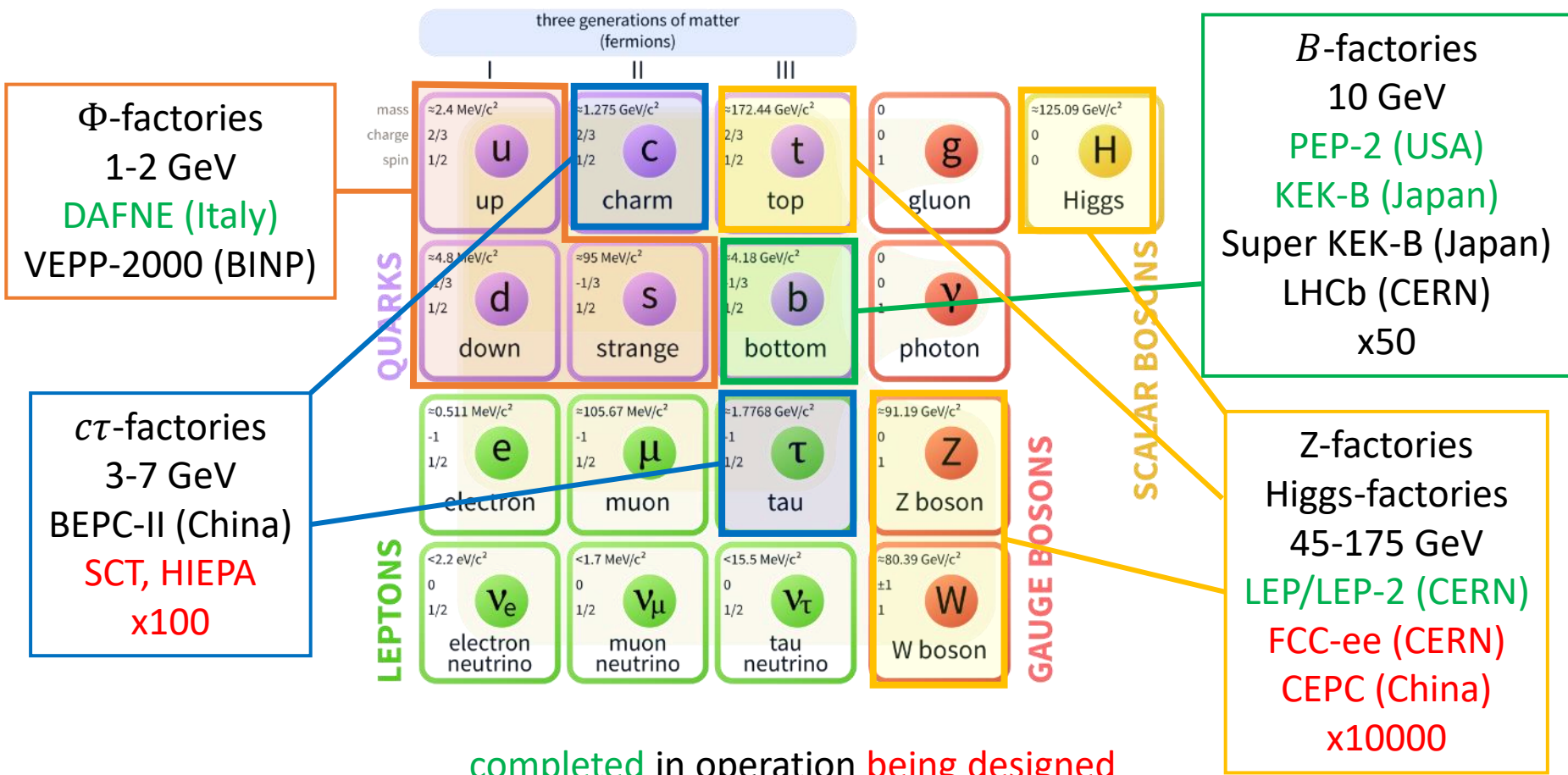
- σ_+ (σ_-) is the total $e^+e^- \rightarrow J/\psi$ cross section for right- (left-)handed electrons
 - P_e is the average electrons polarization, $P_e < 1$
- Statistical precision with a one-year data set:

$$\frac{\sigma(\sin^2 \theta_{\text{eff}}^c)}{\sin^2 \theta_{\text{eff}}^c} \approx 0.3\%, \quad \sigma(\sin^2 \theta_{\text{eff}}^c) \approx 5 \times 10^{-4}$$

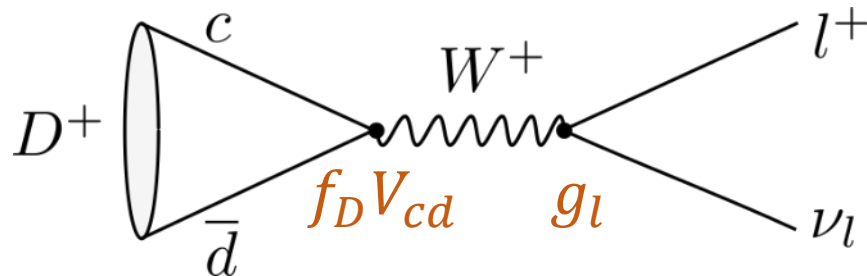
- It tests weak interaction of the charm quark
- An opportunity to observe deviation of the $\sin^2 \theta_{\text{eff}}^c$ from its value at Z peak (test of the EW model)



The factory colliders



(Semi-)leptonic $D_{(s)}$ decays



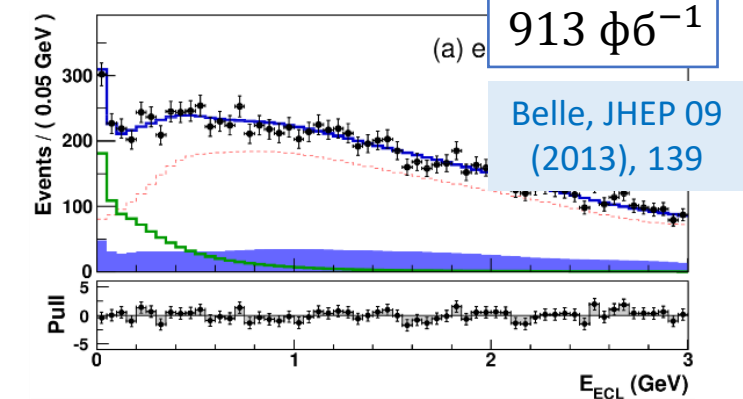
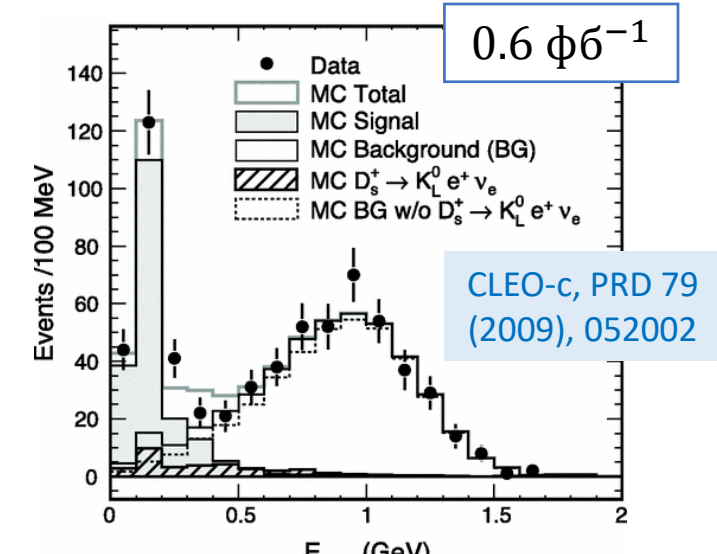
$$\Gamma(D^+ \rightarrow l\nu) = \frac{G_F^2}{8\pi} f_D^2 m_l^2 m_D \left(1 - \frac{m_l^2}{m_D^2}\right) |V_{cd}|^2$$

- Measurement of branching fractions : f_D , V_{cd} , V_{cs}
- Lepton universality test

Table 1: LFU test at BESIII with (semi)leptonic D decays.

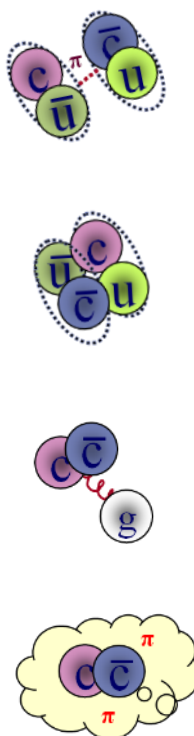
	$R(D_s^+)$	$R(D^+)$	$R(K^-)$	$R(\bar{K}^0)$	$R(\pi^-)$	$R(\pi^0)$
SM	9.74(1)	2.66(1)	0.975(1) [31]	0.975(1) [31]	0.985(2) [31]	0.985(2) [31]
BESIII	9.98(52)	3.21(64)	0.978(14)	0.988(33)	0.922(37)	0.964(45)

$$D_s^+ \rightarrow \tau^+ \nu, \tau^+ \rightarrow e^+ \nu_e \bar{\nu}_\tau$$

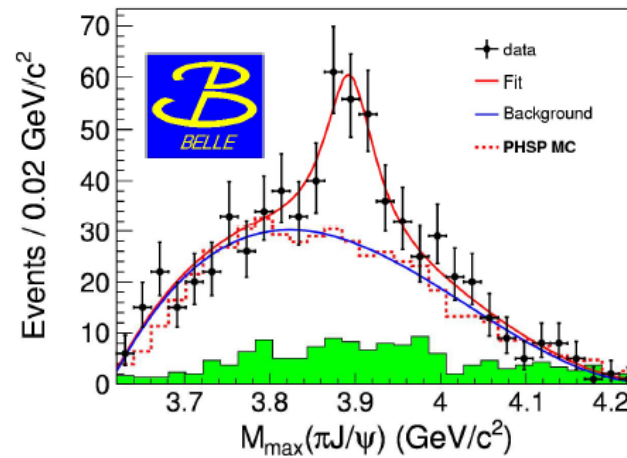


Detailed study of the charmonium-like states

- Existing QCD laboratory
- Cross sections to be measured as function of \sqrt{s} :
 - $e^+e^- \rightarrow J/\psi\pi^+\pi^-$
 - $e^+e^- \rightarrow J/\psi\pi^0\pi^0$
 - $e^+e^- \rightarrow \psi(2S)\pi^+\pi^-$
 - $e^+e^- \rightarrow D\bar{D}, D^*\bar{D}, \dots$
 - $e^+e^- \rightarrow D\bar{D}\gamma$
 - $e^+e^- \rightarrow D\bar{D}(n\pi)$
 - $e^+e^- \rightarrow D_s^+D_s^-$
 - $e^+e^- \rightarrow D_s^+D_s^-(n\pi)$
 - $e^+e^- \rightarrow \Lambda_c\bar{\Lambda}_c$
 - ...

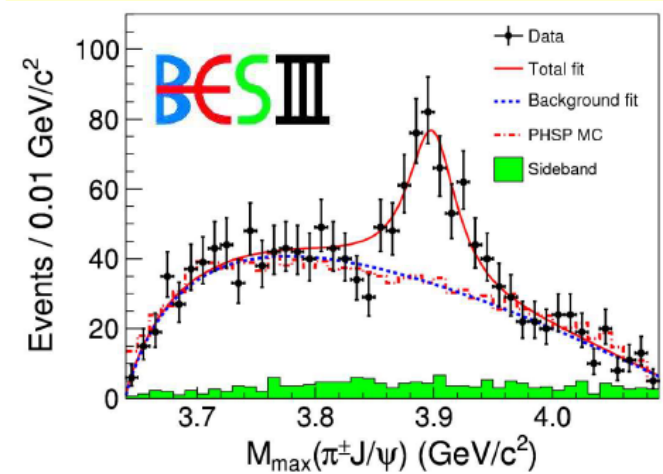


Belle with ISR: PRL110, 252002
967 fb⁻¹ in 10 years running time



- $M = 3894.5 \pm 6.6 \pm 4.5$ MeV
- $\Gamma = 63 \pm 24 \pm 26$ MeV
- 159 ± 49 events
- $>5.2\sigma$

BESIII at 4.260 GeV: PRL110, 252001
0.525 fb⁻¹ in one month running time

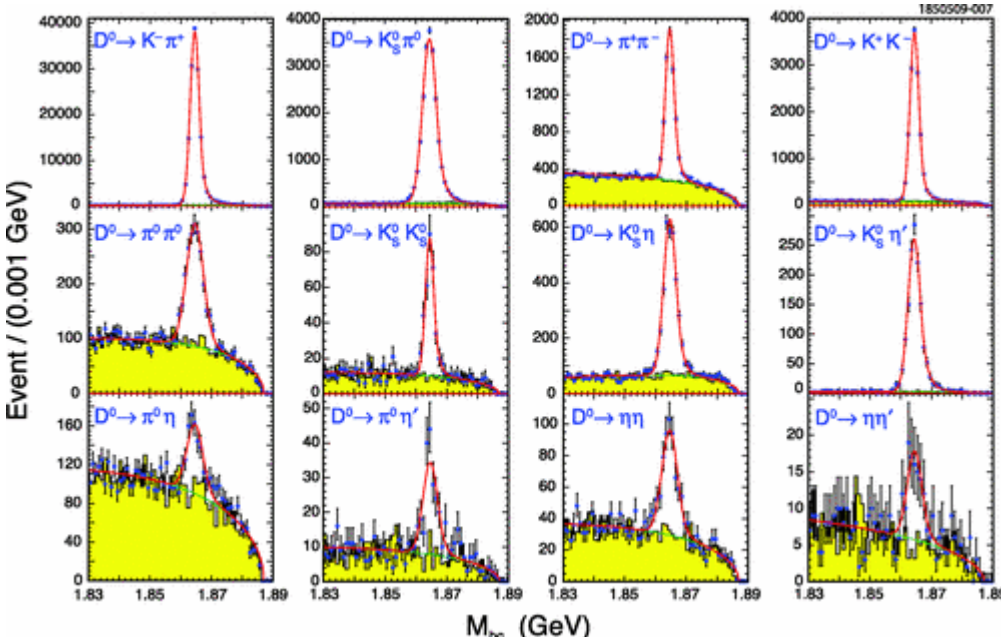


- $M = 3899.0 \pm 3.6 \pm 4.9$ MeV
- $\Gamma = 46 \pm 10 \pm 20$ MeV
- 307 ± 48 events
- $>8\sigma$

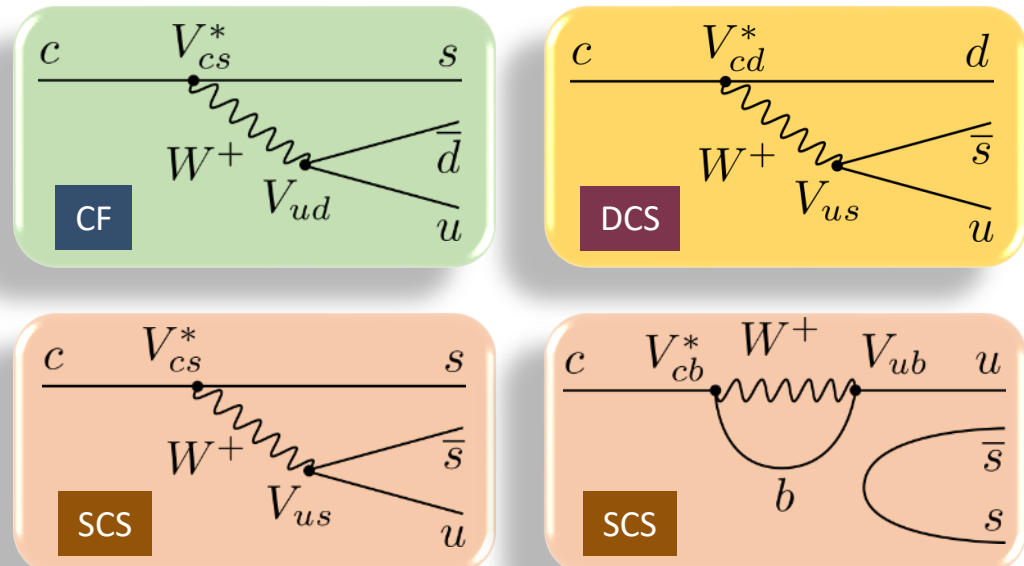
10 years vs. 0.1 year vs. 1 day at SCT

CPV in charm

- Measurement of CP asymmetries in decays of D^0 , D^+ , D_s^+ at the precision level of $\sim 10^{-4}$
 - Advantage of full event reconstruction
 - Coherent $D^0\bar{D}^0$ pairs



CLEOc 0.818 fb^{-1} @ 3774 MeV [PRD 81, 052013 (2010)]



$$\Delta A_{CP} = (-15.4 \pm 2.9) \times 10^{-4}$$

$$D^0 \rightarrow h^+ h^-$$



2019

*long-distance dynamics is important in charm decays:
re-scattering leads to the complex connections between
the worlds of hadrons and quarks [I. Bigi]*

The use of coherent $D^0\bar{D}^0$ pairs

Accessing the phases

- A pair of neutral D mesons produced at threshold carries photon quantum numbers $J^{PC} = 1^{--}$:
 $\psi_{DD} \propto D_1^0 \bar{D}_2^0 + \mathcal{C} D_2^0 \bar{D}_1^0, \quad \mathcal{C} = -1$
- The interference term gives access to the phase difference between D^0 and \bar{D}^0 decay amplitudes

$$\delta_{K\pi} \equiv \arg \left(\frac{\mathcal{A}(\bar{D}^0 \rightarrow K^-\pi^+)}{\mathcal{A}(D^0 \rightarrow K^-\pi^+)} \right)$$

- Coherence factors and CP content of multibody decay amplitudes
- Phases of the $D^0 \rightarrow K_S^0 \pi^+ \pi^-$

Essential input for B factories and LHCb

Accessing the charm mixing

- Measuring charm mixing with quantum correlations
 - Charm mixing cancels at first order for the coherent decays
 $\Gamma_{ij} \propto |\langle i|D_2 \rangle \langle j|D_1 \rangle - \langle i|D_1 \rangle \langle j|D_2 \rangle|^2 + \mathcal{O}(x^2, y^2)$
 - Charm mixing contributes to non-coherent *time-integrated decays*
 $\Gamma_i \propto |\langle i|D \rangle|^2 (1 - \textcolor{brown}{y} \operatorname{Re} \lambda_f - \textcolor{brown}{x} \operatorname{Im} \lambda_f) + \mathcal{O}(x^2, y^2)$
- Several unique techniques to measure charm mixing and CP violation in charm based on this phenomenology
- Access to the $\mathcal{C} = +1$ state with $e^+ e^- \rightarrow D^0 \bar{D}^0 \gamma$
 - Charm mixing contribution is doubled instead of being cancelled!

Tau lepton



Prog. Part. Nucl. Phys. 75 (2014) 41

τ Physics

Decay

$\tau^- \rightarrow \nu_\tau$ (via W) $\rightarrow e^-, \mu^-, \bar{\nu}_e, \bar{\nu}_\mu$

QCD

$\tau^- \rightarrow \nu_\tau$ (via W) $\rightarrow d_\theta$ (gluon) \rightarrow Hadrons

Production

$e^- + e^+ \rightarrow \gamma, Z \rightarrow \tau^+ \tau^-$
 $b \rightarrow c$ (via W) $\rightarrow \tau^- \bar{\nu}_\tau$

New Physics

$H^0 \rightarrow \tau^+ \tau^-$ $H^- \rightarrow \tau^+ \bar{\nu}_\tau$

Neutrino Physics

$\nu_\mu \rightarrow \nu_\tau$ (oscillation)

A. Pich

τ Physics

2

Charm mixing

Measuring charm mixing with combination of coherent and incoherent D^0 decays

- CLEO-c [1]: 0.82 fb^{-1} @ $\psi(3770)$
 - Joint analysis of 261 processes
 - First measurement of $\sin \delta_{K\pi}$
 $y = (4.2 \pm 2.0 \pm 1.0)\%$
 - $R_D = (0.533 \pm 0.107 \pm 0.045)\%$
 - $\cos \delta_{K\pi} = +0.81 \pm 0.22 \pm 0.07$
 - $\sin \delta_{K\pi} = -0.01 \pm 0.41 \pm 0.04$

[1] Phys. Rev. D86 (2012) 112001

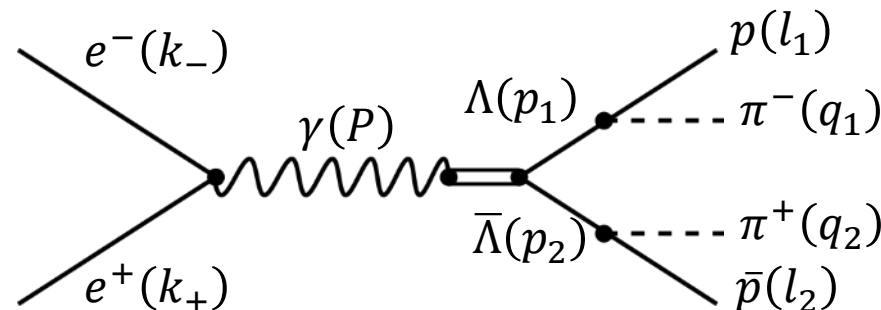
Coherent $D^0\bar{D}^0$ pair decays

$$\Gamma(i,j) \propto |\langle i|D_2\rangle\langle j|D_1\rangle - \langle i|D_1\rangle\langle j|D_2\rangle|^2 + \mathcal{O}(x^2, y^2)$$

TABLE III. D final states reconstructed in this analysis. [1]

Type	Reconstruction	Final states
f	Full	$K^-\pi^+, Y_0 - Y_7$
\bar{f}	Full	$K^+\pi^-, \bar{Y}_0 - \bar{Y}_7$
S_+	Full	$K^+K^-, \pi^+\pi^-, K_S^0\pi^0\pi^0$
S_+	Partial	$K_L^0\pi^0, K_L^0\eta, K_L^0\omega$
S_-	Full	$K_S^0\pi^0, K_S^0\eta, K_S^0\omega$
S_-	Partial	$K_L^0\pi^0\pi^0$
ℓ^+	Partial	$K^-e^+\nu_e, K^-\mu^+\nu_\mu$
ℓ^-	Partial	$K^+e^-\bar{\nu}_e, K^+\mu^-\bar{\nu}_\mu$

Λ formfactors



$$e^+e^- \rightarrow J/\psi \rightarrow [\Lambda \rightarrow p\pi^-][\bar{\Lambda} \rightarrow \bar{p}\pi^+]$$

$$\alpha \equiv \frac{s \left| G_M^\psi \right|^2 - 4m_\Lambda^2 \left| G_E^\psi \right|^2}{s \left| G_M^\psi \right|^2 + 4m_\Lambda^2 \left| G_E^\psi \right|^2}, \quad \Delta\Phi \equiv \arg\left(\frac{G_E^\psi}{G_M^\psi}\right), \quad \alpha_1, \alpha_2$$

➤ CP asymmetry in $\Lambda \rightarrow p\pi^-$:

$$A_\Lambda \equiv \left| \frac{\alpha_1 + \alpha_2}{\alpha_1 - \alpha_2} \right| \lesssim 5 \times 10^{-5}$$

○ SM limit:

$$A_\Lambda \lesssim 5 \times 10^{-5}$$

○ Expected precision:

$$\sigma(A_\Lambda) = 1.2 \times 10^{-4}$$

Setup	SCT one-year $\sigma (10^{-4})$			
	P_e	α	$\Delta\Phi$ (rad)	α_i
5D $P_e = 0$	Fixed	1.5	3.1	2.8
5D $P_e = 0.8$	1.3	1.2	1.6	0.9
3D $P_e = 0.8$	4.3	1.2	2.4	3.4

Charm decay rates

Time-dependent

Incoherent

$$D^{*\pm} \rightarrow D\pi^\pm, \quad B \rightarrow DX, \quad e^+e^- \rightarrow c\bar{c} \rightarrow D\bar{D}X, \quad pp \rightarrow c\bar{c}X$$

$$|\langle f | \mathcal{H} | D^0(t) \rangle|^2 = e^{-\Gamma t} |\mathcal{A}_f|^2 [1 - (\textcolor{blue}{y} \operatorname{Re} \lambda_f + \textcolor{blue}{x} \operatorname{Im} \lambda_f) \Gamma t] + \mathcal{O}(x^2, y^2)$$

$$|\langle f | \mathcal{H} | D^0 \rangle|^2 \propto |\mathcal{A}_f|^2 (1 - \textcolor{blue}{y} \operatorname{Re} \lambda_f - \textcolor{blue}{x} \operatorname{Im} \lambda_f) + \mathcal{O}(x^2, y^2)$$

Boost

$$\text{LHCb: } (\gamma\beta)_D \gg 1$$

$$B \text{ factory: } (\gamma\beta)_D \sim 1$$

$$c\text{-}\tau \text{ factory: } (\gamma\beta)_D \ll 1$$

Time-integrated

Coherent (at rest)

$$e^+e^- \rightarrow D^{(*)0}\bar{D}^{(*)0}, \quad \mathcal{C}+: D^0\bar{D}^0\gamma, \quad \mathcal{C}-: D^0\bar{D}^0(\pi^0)$$

$$\langle ij | \mathcal{H} | D^0\bar{D}^0 \rangle \propto \langle i | \mathcal{H} | D^0 \rangle \langle j | \mathcal{H} | \bar{D}^0 \rangle + \textcolor{red}{C} \langle i | \mathcal{H} | \bar{D}^0 \rangle \langle j | \mathcal{H} | D^0 \rangle$$

$$|\langle ij | \mathcal{H} | D^0\bar{D}^0 \rangle|^2 \propto |\mathcal{A}_i|^2 |\mathcal{A}_j|^2 [|\zeta_{\mathcal{C}}|^2 + (1 + \textcolor{red}{C})(\textcolor{blue}{x} \operatorname{Im}(\xi_{\mathcal{C}}^* \zeta_{\mathcal{C}}) - \textcolor{blue}{y} \operatorname{Re}(\xi_{\mathcal{C}}^* \zeta_{\mathcal{C}}))] + \mathcal{O}(x^2, y^2)$$

$$\xi_{\mathcal{C}} \equiv \frac{p}{q} (1 + \mathcal{C} \lambda_i \lambda_j), \quad \zeta_{\mathcal{C}} \equiv \frac{p}{q} (\lambda_j + \mathcal{C} \lambda_i)$$

Model-independent Dalitz analysis

Charm mixing measurement using $D^0 \rightarrow K_S^0 \pi^+ \pi^-$

$$e^+ e^- \rightarrow \psi(4040) \rightarrow D\bar{D}^*$$

➤ Coherent $\mathcal{C} = -1: D^0 \bar{D}^{*0} \rightarrow D^0 \bar{D}^0 \pi^0$

$$M_{ij}^- = K_i K_{-j} + K_{-i} K_j - 2 \sqrt{K_i K_{-j} K_{-i} K_j} (C_i C_j + S_i S_j)$$

➤ Coherent $\mathcal{C} = +1: D^0 \bar{D}^{*0} \rightarrow D^0 \bar{D}^0 \gamma$

$$\begin{aligned} M_{ij}^+ = & K_i K_{-j} + K_{-i} K_j - 2 \sqrt{K_i K_{-j} K_{-i} K_j} (C_i C_j + S_i S_j) \\ & + 2K_j \sqrt{K_i K_{-i}} (y C_i - x S_i) + 2K_{-j} \sqrt{K_i K_{-i}} (y C_i + x S_i) \\ & + 2K_i \sqrt{K_j K_{-j}} (y C_j - x S_j) + 2K_{-i} \sqrt{K_j K_{-j}} (y C_j + x S_j) \end{aligned}$$

➤ Incoherent $D^- D^{*+} \rightarrow D^- D^0 \pi^+$

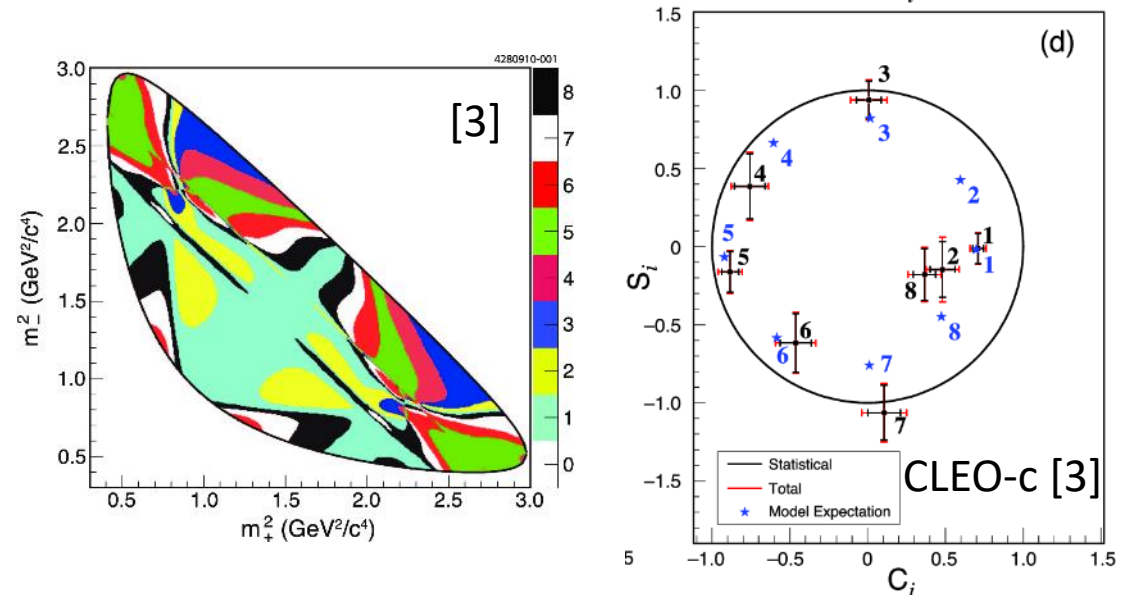
$$K'_i = K_i + \sqrt{K_i K_{-i}} (y C_i + x S_i)$$

[1] Phys. Rev. D68, 054018 (2003)

[2] Phys. Rev. D82, 034033 (2010)

[3] Phys. Rev. D82, 112006 (2010)

[4] JHEP 04 (2016) 033



$$Z_i = \frac{\int_{D_i} \mathcal{A}_D^* \mathcal{A}_{\bar{D}} dm_+^2 dm_-^2}{\sqrt{\int_{D_i} |\mathcal{A}_D|^2 dm_+^2 dm_-^2 \cdot \int_{D_i} |\mathcal{A}_{\bar{D}}|^2 dm_+^2 dm_-^2}}$$

$$C_i = \text{Re } Z_i, \quad S_i = \text{Im } Z_i$$

Model-independent Dalitz analysis

Charm mixing measurement using $D^0 \rightarrow K_S^0 \pi^+ \pi^-$

- Time-dependent analysis: [1,2]

$$\mathcal{P}_D(t, i) \propto e^{-\Gamma t} [K_i - \Gamma t \sqrt{K_i K_{-i}} (C_i y + S_i x)]$$

$$\mathcal{P}_{\bar{D}}(t, i) \propto e^{-\Gamma t} [K_{-i} - \Gamma t \sqrt{K_i K_{-i}} (C_i y - S_i x)]$$

- C_i and S_i are measured at threshold [3]
- x and y are the charm mixing parameters

- LHCb [4]: 1.0 fb^{-1} @ 7 TeV , $D^{*+} \rightarrow D^0 \pi^+$, $D^0 \rightarrow K_S^0 \pi^+ \pi^-$

$$x = (-0.86 \pm 0.53 \pm 0.17)\%$$

$$y = (+0.03 \pm 0.46 \pm 0.13)\%$$

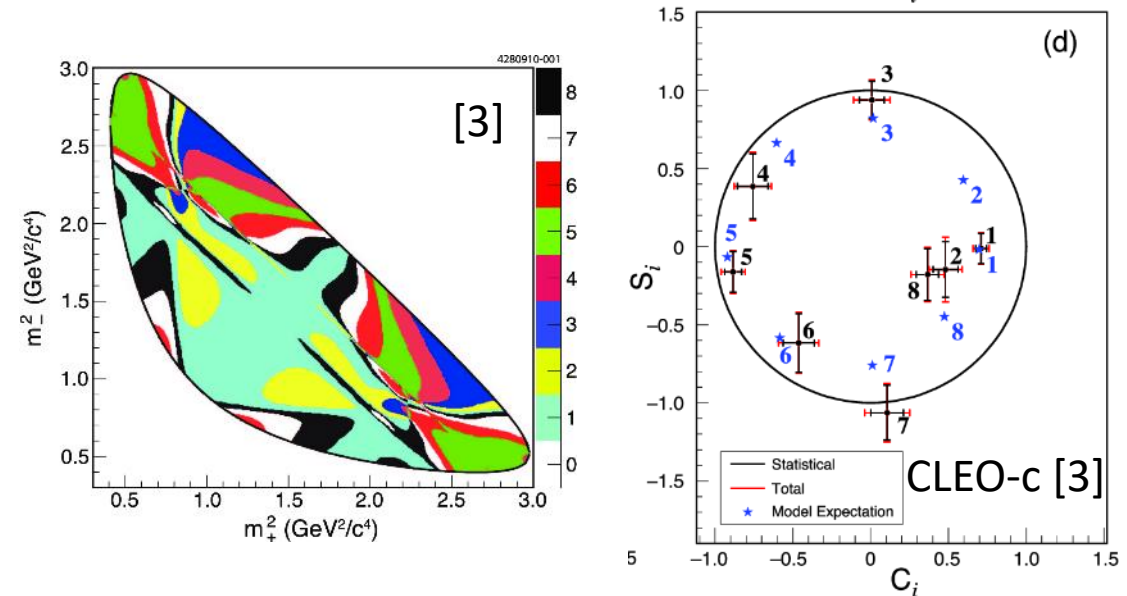


[1] Phys. Rev. D68, 054018 (2003)

[2] Phys. Rev. D82, 034033 (2010)

[3] Phys. Rev. D82, 112006 (2010)

[4] JHEP 04 (2016) 033



$$Z_i = \frac{\int_{D_i} \mathcal{A}_D^* \mathcal{A}_{\bar{D}} \, dm_+^2 dm_-^2}{\sqrt{\int_{D_i} |\mathcal{A}_D|^2 dm_+^2 dm_-^2 \cdot \int_{D_i} |\mathcal{A}_{\bar{D}}|^2 dm_+^2 dm_-^2}}$$

$$C_i = \text{Re } Z_i, \quad S_i = \text{Im } Z_i$$



Precision experiments at electron-positron collider Super Charm-Tau Factory

A contribution to the Update of the European Strategy for Particle Physics

Budker INP, Novosibirsk

Contact person:
Eugene Levichev (E.B.Levichev@inp.nsk.su), Alexander Bo
Yury Tikhonov (Yuri.Tikhonov@cern.ch), Ivan Logashenko

This document describes research program of Budker INP (No. 00000000000000000000000000000000) for the next two decades based on the flagship project of the Charm-Tau (SCT) factory. The SCT factory is designed to operate from 2 to 6 GeV with peak luminosity of $10^{38} \text{ cm}^{-2} \text{ s}^{-1}$ polarization of the electron beam at the interaction region potential. The facility, equipped with a state-of-the-art ion precision measurements of decays of tau leptons and hadrons I generations.

December 2018

M.N. Achasov,¹ E.M. Baldwin,¹ V.E. Barnes,² A.V. Belichenko,³ A.V. Bogorodskiy,² A.E. Bondar,³
A.F. Bonduashvili,¹ V.I. Chernyshev,¹ V.F. Dmitriev,² V.P. Drushlits,¹ A. Gorinsh,¹
S.I. Eidelman,⁴ D.A. Epifanov,⁵ A.G. Karlsruhe,⁶ I.A. Kogol,⁷ E.A. Kozyrev,⁷ T.A. Kraschenko,¹
P. Krokinov,⁸ I.R. Lopatin,⁹ P.A. Lukin,¹⁰ D.V. Matveenko,¹¹ D.A. Maximov,¹
R.A. Raushev,¹ Yu.L. Rogovskiy,¹ A.A. Ruban,¹² A.S. Rudenko,¹ L. Shchekina,¹ D. Schwartz,¹³
B.A. Smett,¹⁴ A.V. Soloviev,¹ A.A. Soltasse,¹ V.I. Trulin,¹⁵ V.S. Vorobyov,¹⁶ V.Y. Zhilich,¹
B.R. Abakumov,¹⁷ M.Yu. Barsovskiy,¹⁸ V.A. Bogdanovich,¹⁹ A.G. Bogolyubov,²⁰
A.R. Dziryabin,²¹ V.I. Dorokhov,²² F. Izquierdo,²³ V.M. Grivaz,²⁴ T.A. Kholmanova,²⁵ V.A. Kostev,²
A.A. Kuznetsov,²⁶ V.A. Kuznetsov,²⁷ A.L. Kuznetsov,²⁸ O.G. Kuznetsov,²⁹ V.K. Kuznetsov,²
S.A. Nikitin,² A.A. Odeig,² K.V. Palpevskiy,² P.A. Platonov,² S.M. Sosulin,²
T.M. Shakhnov,² D.N. Shashov,² Yu.M. Shatunov,² D.A. Stast,² A. Svirskiy,² F.P. Sokolov,²
Yu.A. Tikhonov,² Yu.V. Yudin,² A.Yu. Baryshev,² N.N. Achasov,² A.A. Dziryabin,² E.E. Boos,²
M. Merkin,² Y. Kadenn,² A.V. Nofedov,² T. Uglov,² E. Soloviev,² V.I. Radchikov,²
O.V. Balakin,²⁹ I.H. Boris,¹⁰ A. Gukov,¹⁰ Yu.A. Nedoloz,¹⁰ A. Zhemchugov,¹⁰ M. Finger,²¹
M. Finger Jr.,²¹ H. Vogl,²¹ C.Z. Yuan,³³ J. Hennan,³⁴ P. Dison,³⁵ A. Harapetian,²¹
F. Khalil,²¹ M. Schmidt,³⁵ A. Dong,³⁶ S.A. Wolf,²¹ M. Trajder,²¹ T. Schmitz,²¹
C. Schmitz,²¹ C. Ulfbeck,²¹ C. Wobisch,²¹ M. Lohse,²¹ M. Loscher,²¹ M.E. Biging,²¹
M. Zobes,²¹ X. De Filippis,²⁶ Sh. Ishmanov,²⁵ M. Mafaruti,²⁵ F. Anelli,²⁹ G. Mandaglio,²
G. Chiarusi,²⁹ I. Garzia,²⁹ P. Reale,³⁰ A. Kope,³¹ P. Fernando Decena,³² A. Salter,³²
S. Nishii,²² A. Gayou,³⁴ A.O. Poluektov,³⁵ O.B. Mulyakov,²⁹ V. Semenik,² and K. Arion,²⁹

¹Budker Institute of Nuclear Physics, Novosibirsk State University, Novosibirsk, 630090, Russia
²Budker Institute of Nuclear Physics, Novosibirsk, 630090, Russia
³Budker Institute of Nuclear Physics, Novosibirsk, 630090, Russia
⁴Kurchatov Institute of Radiophysics and Nuclear Power, Novosibirsk, 630090, Russia
⁵Sobolev Institute of Mathematics, Novosibirsk, 630090, Russia
⁶Petersburg Nuclear Physics Institute named by B.P. Konstantinov of NRC "Kurchatov Institute", Petersburg, Russia
⁷INFN Laboratori Nazionali di Frascati, Frascati, Italy
⁸INFN Laboratori Nazionali di Legnaro, Legnaro, Italy
⁹INFN Laboratori Nazionali del Gran Sasso, Gran Sasso d'Agro, Italy
¹⁰INFN Laboratori Nazionali di Frascati, Frascati, Italy
¹¹Charles University, Faculty of Mathematics and Physics, Prague, Czech Republic
¹²Department of Physics, University of West Bohemia, Pilsen 301 66, Czech Republic
¹³Institute of High Energy Physics, Chinese Academy of Sciences, Beijing 100049, China
¹⁴H. Physical Institute, Justus-Liebig-Universität, 35596 Giessen, Germany
¹⁵Institute for Nuclear Physics, Johannes-Gutenberg-University, 53105 Mainz, Germany
¹⁶Physikalisch-Technische Bundesanstalt, 37077 Braunschweig, Germany
¹⁷Goethe University Frankfurt, 60223 Frankfurt am Main, Germany
¹⁸GSI Helmholtzzentrum für Heavy Ion Research GmbH, 64291 Darmstadt, Germany
¹⁹Bhabha Atomic Research Centre, Mumbai 400085, India

European Strategy for Particle Physics Update

- The SCT physics potential is reflected in Physics Briefing book: [arXiv:1910.11775 \[hep-ex\]](https://arxiv.org/abs/1910.11775)

Snowmass2021

- Letter of intent for SCT is signed by 100 colleagues from 38 organizations (including 10 Russian organizations)
- The 2021 goal: writing white papers

SnowMass2021